

Capitolul 6

Atacuri asupra sistemelor de criptare bloc

6.1 Considerații generale

În acest capitol vom trece în revistă principalele tipuri de atac dezvoltate asupra sistemelor de criptare bloc. Majoritatea lor au fost create inițial pentru criptanaliza sistemului *DES*, devenind ulterior standarde de securitate pentru toate sistemele de criptare. Tipuri de criptanaliză mai vechi – cum sunt criptanaliza diferențială sau liniară – au generat ulterior modalități noi de atac (mixt, boomerang, rectangle etc) pentru anumite tipuri de criptosisteme, adesea semnificativ mai puternice.

6.2 Compromisul spațiu - timp

Este un tip de atac bazat pe un compromis între complexitatea spațiu și complexitatea timp a atacurilor prin forță brută, care poate fi utilizat destul de eficient în unele atacuri cu text clar ales.

Aici *Oscar* va dispune de o pereche (α, β) cu $\beta = e_K(\alpha)$, și caută să determine cheia K .

Nu vom folosi o structură particulară de implementare a unui sistem, dar ne vom referi în mod implicit la sistemul *DES*; mai exact, știm că textele clare și cele criptate sunt de 64 biți, iar cheia are 56 biți.

O căutare exhaustivă constă în a încerca toate cele 2^{56} chei posibile. Această operație nu necesită memorie, dar sunt necesare în medie 2^{55} chei pentru a o găsi pe cea bună.

Sau, fiind dat un text clar α , *Oscar* poate forma anterior (în faza de precalcul) o tabelă cu 2^{56} perechi (β_k, K) , ordonată după $\beta_K = e_K(\alpha)$. Atunci când *Oscar* obține mesajul β (criptat din textul clar α), el va căuta în tabelă și va afla imediat cheia K . Astfel, aflarea cheii va necesita un timp de calcul neglijabil (complexitate logaritmică), dar un spațiu de

memorie gigantic și un timp de precalcul important. Această variantă nu aduce nici un avantaj din punct de vedere al timpului total, pentru aflarea unei singure chei. Avantajul apare atunci când este necesară căutarea mai multor chei, deoarece tabela precalculată a fost construită o singură dată.

Compromisul spațiu - timp permite obținerea unui timp de calcul (precalculul nu se include) inferior celui unei căutări exhaustive, cu un spațiu de memorie inferior celui necesar reținerii tuturor cheilor. Algoritmul folosește o *funcție de reducere* R , care micșorează o secvență de 64 biți la una de 56 biți (de exemplu, R poate șterge pur și simplu 8 biți din secvența inițială).

Fie α un text clar de 64 biți; se definește $g(K_0) = R(e_{K_0}(\alpha))$ pentru orice secvență K_0 de 56 biți (rezultatul $g(K_0)$ este de asemenea de lungime 56).

Algoritmul mai folosește doi parametri întregi pozitivi m, t . În faza de precalcul, *Oscar* definește m secvențe arbitrare de 56 biți fiecare, notate $X(i, 0)$, $1 \leq i \leq m$. Apoi, folosind relația de recurență

$$X(i, j) = g(X(i, j-1)), \quad 1 \leq i \leq m, \quad 1 \leq j \leq t,$$

Oscar determină valorile $X(i, j)$, $1 \leq j \leq t$, formând cu ele o matrice $X_{m \times t}$.

Din aceste valori, *Oscar* păstrează într-o tabelă T numai $2m$ perechi

$$(X(i, 0), X(i, t)), \quad 1 \leq i \leq m$$

(deci sunt memorate numai prima și ultima coloană a matricii X).

În momentul atacului, *Oscar* obține textul criptat β al textului clar α ales de el (reamintim, este vorba de un atac cu text clar ales). El va căuta cheia K în cele t coloane ale matricii X , consultând tabela T .

Să presupunem $K = X(i, t-j)$ pentru un j ($1 \leq j \leq t$) dat (K este în una din cele t coloane ale lui X). Vom avea $g^j(K) = X(i, t)$, și

$$g^j(K) = g^{j-1}(g(K)) = g^{j-1}(R(e_K(\alpha))) = g^{j-1}(R(\beta)).$$

Să calculăm șirul β_j ($1 \leq j \leq t$) definit prin relația de recurență

$$\beta_j = \begin{cases} R(\beta) & \text{dacă } j = 1 \\ g(\beta_{j-1}) & \text{dacă } 2 \leq j \leq t \end{cases}$$

Dacă $K = X(i, t-j)$, vom avea $\beta_j = X(i, t)$.

De remarcat că reciproca nu este adevărată: nu este suficient ca $\beta_j = X(i, t)$ pentru a avea $K = X(i, t-j)$, deoarece funcția de reducere R nu este injectivă (R reduce un spațiu de 2^{64} valori în unul de 2^{56} valori, deci fiecare valoare provine în general din $2^8 = 256$ elemente). Trebuie verificată egalitatea $\beta = e_{X(i, t-j)}(\alpha)$, pentru a decide dacă $X(i, t-j)$ este într-adevăr cheia.

Valoarea $X(i, t-j)$ nu este disponibilă în memorie, dar ea se poate recalcula în $t-j$ pași, plecând de la $X(i, 0)$.

Oscar va folosi deci următorul algoritm:

```

1.  $\beta_1 \leftarrow R(\beta)$ 
2. for  $j \leftarrow 1$  to  $t$  do
    2.1. if  $\exists i$  cu  $\beta_j = X(i, t)$  then
        2.1.1. calculează  $X(i, t-j) = g^{t-j}(X(i, 0))$ 
        2.1.2. if  $\beta = e_{X(i, t-j)}(\alpha)$  then  $K \leftarrow X(i, t-j)$ , STOP
    2.2.  $\beta_{j+1} \leftarrow g(\beta_j)$ 

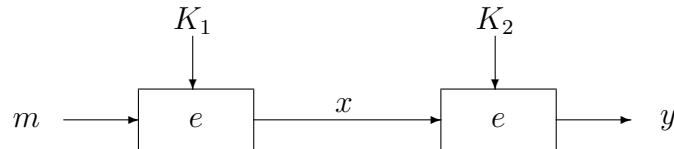
```

Analizând probabilitatea de succes a algoritmului, se poate arăta că dacă $mt^2 \approx N = 2^{56}$, atunci probabilitatea să găsim cheia K în cele t coloane ale matricii X este de circa $0,8mt/N$. Coeficientul $0,8$ provine din faptul că valorile $X(i, t)$ pot să nu fie distincte. O sugestie este de a alege $m \approx t \approx N^{1/3}$ și de a construi $N^{1/3}$ tabele, fiecare cu altă funcție de reducere R . Astfel, spațiul de memorie necesar este de $112 \cdot N^{2/3}$ biți (trebuie păstrați $2N^{2/3}$ valori de 56 biți). Timpul de precalcul este liniar $\mathcal{O}(N)$.

Timpul de calcul al atacului este mai dificil de evaluat. De remarcat că pasul 2.1 poate fi implementat în cel mai rău caz într-un timp $\mathcal{O}(\log m)$, utilizând arbori binari de căutare. Dacă acest pas eșuează (deci nu se găsește nici o valoare), timpul de calcul este $\mathcal{O}(N^{2/3})$. Ceilalți pași care urmează cresc acest timp doar cu un factor constant.

6.3 Atacul *meet-in-the-middle*

Este un atac cu text clar ales, dezvoltat în 1981 de Merkle și Hellman ca răspuns la ideea unei duble criptări cu două chei diferite, conform schemei



Lema 6.1. Pentru un sistem de criptare bloc, o dublă criptare poate fi atacată folosind $\mathcal{O}(2^n)$ operații și $\mathcal{O}(2^n)$ spațiu de memorie, unde n este lungimea cheii.

Demonstrație: Fie (α, β) o pereche (*text clar*, *text criptat*) obținută pe baza schemei de mai sus.

1. Pentru fiecare din cele 2^n chei posibile se calculează $x_i = e_{K_i}(\alpha)$;
2. Se stochează (x_i, K_i) sortate (sau indexate) după x_i .
3. Pentru fiecare din cele 2^n chei posibile:
 - (a) Se calculează $x_j = e_{K_j}(\beta)$;
 - (b) Se caută în lista creată la pasul anterior o pereche (x_i, K_i) cu $x_i = x_j$;

4. O pereche de chei posibile este (K_i, K_j) ;

(deoarece $e_{K_i}(\alpha) = d_{K_j}(\beta)$, deci $e_{K_j}(e_{K_i}(\alpha)) = \beta$).

Algoritmul se reia cu alte perechi (α, β) , până ce perechea de chei folosite este determinată în mod unic.

Exemplul 6.1. *Un atac direct asupra unei duble criptări cu DES ar necesita un timp de ordin 2^{112} și un spațiu neglijabil. Dacă se folosește un atac meet-in-the-middle, timpul va fi 2^{56} iar spațiul 2^{56} . Strategii complementare de genul compromisului spațiu - timp pot duce la variante de genul: 2^p spațiu, 2^q timp, unde $p + q = 112$ ([41]).*

6.4 Criptanaliza diferențială

Unul din cele mai cunoscute atacuri ale DES-ului este *criptanaliza diferențială*, introdusă de Biham și Shamir în 1991 ([4],[5],[6]). Cu toate că nu dă o modalitate practică de spargere a funcției DES în 16 tururi, ea furnizează atacuri eficace pentru variantele de DES cu un număr redus de runde. De exemplu, un DES cu 8 runde poate fi spart în câteva minute cu un PC obișnuit. Ulterior, criptanaliza diferențială a fost extinsă ca metodă standard de atac pentru toate sistemele de criptare bloc.

6.4.1 Privire generală

Un atac prin criptanaliză diferențială exploatează faptul că anumite diferențe dintre texte clare să genereze – cu probabilitate semnificativă – diferențe fixate între mesajele criptate corespunzătoare.

Astfel, să considerăm un sistem de criptare pe blocuri de n biți, cu intrarea (textul clar) $\alpha = (a_1, a_2, \dots, a_n)$ și ieșirea (textul criptat) $\beta = (b_1, b_2, \dots, b_n)$.

Fie α' și α'' două blocuri de intrare, iar β' , respectiv β'' blocurile de ieșire corespunzătoare. Diferența dintre biții de intrare este dată de

$$\Delta\alpha = \alpha' \oplus \alpha'' = (\Delta a_1, \Delta a_2, \dots, \Delta a_n)$$

unde $\Delta a_i = a_i' \oplus a_i''$, iar a_i' și a_i'' reprezintă al i -lea bit din α' , respectiv α'' .

Similar,

$$\Delta\beta = \beta' \oplus \beta'' = (\Delta b_1, \Delta b_2, \dots, \Delta b_n)$$

este diferența dintre mesajele de ieșire (unde $\Delta b_i = b_i' \oplus b_i''$).

Într-un sistem de criptare ideal, probabilitatea ca, fiind dată o diferență de intrare $\Delta\alpha$, să apară o anumită diferență de ieșire $\Delta\beta$, este $1/2^n$ (unde n este mărimea blocului de criptare).

Criptanaliza diferențială exploatează situația când pentru o anumită diferență de intrare $\Delta\alpha$, o diferență de ieșire $\Delta\beta$ apare cu o probabilitate p_D semnificativ mai mare decât $1/2^n$. Perechea $(\Delta\alpha, \Delta\beta)$ pentru care există o astfel de situație se numește *diferențială*.

În esență, criptanaliza diferențială este un atac cu text clar ales: *Oscar* alege perechi de intrări (α', α'') , care verifică o anumită diferență $\Delta\alpha$, știind că pentru această valoare $\Delta\alpha$, există o diferențială $(\Delta\alpha, \Delta\beta)$.

Cel mai important pas constă în construirea unei diferențiale $(\Delta\alpha, \Delta\beta)$, folosind biții textului clar pentru α , și intrarea în ultima rundă a sistemului de criptare pentru β .

Aceasta se poate realiza examinând diverse *diferențiale caracteristice*. O *diferențială caracteristică* este o secvență $(\Delta\alpha_1, \Delta\alpha_2, \dots, \Delta\alpha_n)$ unde $(\Delta\alpha_i, \Delta\alpha_{i+1})$ este o diferențială a rundei i din sistemul de criptare (deci $\alpha_1 = \alpha$, $\alpha_n = \beta$).

Pe baza unei diferențiale caracteristice putem exploata informația care intră în ultima rundă a sistemului, pentru a afla o parte din biții cheii.

Deci, o primă problemă constă în construirea de diferențiale caracteristice. Pentru aceasta vom examina și exploata diverse particularități ale S - boxurilor.

Practic, vom considera toate diferențele de intrare și ieșire din fiecare S -box, determinând perechile $(\Delta\alpha, \Delta\beta)$ cu probabilități mari. Combinând aceste perechi de la o rundă la alta, astfel ca diferențele dintre două ieșiri dintr-o rundă să coincidă cu diferențele dintre două intrări în runda următoare, vom determina o diferențială între două texte clare și intrările a două texte în ultima rundă. În final, biții ultimei sub-chei vor dispărea (deoarece sunt folosiți în ambele texte și – prin diferențiere cu operația XOR – se anulează reciproc).

6.4.2 Analiza componentelor unui sistem de criptare

Să examinăm perechile de diferențe ale unui S -box.

Vom considera un 4×4 S -box, cu intrarea $\alpha = (a_1, a_2, a_3, a_4)$ și ieșirea $\beta = (b_1, b_2, b_3, b_4)$.

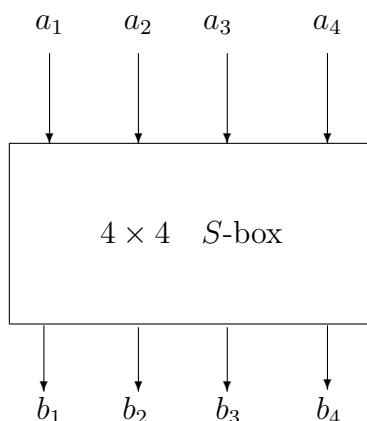


Figura 1: Modelul unui 4×4 S - box

Toate perechile de diferențe $(\Delta\alpha, \Delta\beta)$ ale unui astfel de S - box vor fi examinate; fixăm o diferență $\Delta\alpha$ și calculăm probabilitățile de apariție pentru toate diferențele de ieșiri $\Delta\beta$, peste mulțimea perechilor de intrare (α', α'') cu $\alpha' \oplus \alpha'' = \Delta\alpha$.

Deoarece ordinea perechilor nu este relevantă, pentru un 4×4 S -box sunt necesare doar cele 16 valori posibile ale unei intrări α' ; a doua intrare α'' va fi calculată cu formula $\alpha'' = \alpha' \oplus \Delta\alpha$.

Toată construcția acestei secțiuni va fi exemplificată folosind prima linie a primului S -box din DES (am considerat cel mai semnificativ bit din notația hexazecimală ca fiind cel mai din stânga bit al S -boxului):

<i>Intrare</i>	0	1	2	3	4	5	6	7	8	9	A	B	C	D	E	F
<i>Iesire</i>	E	4	D	1	2	F	B	8	3	A	6	C	5	9	0	7

Tabela 1. Reprezentarea (în hexazecimal) a unui S - box

Fiecare pereche (*intrare*, *iesire*) poate fi considerată ca un 4×4 S -box cu intrări și ieșiri pe 4 biți.

Putem calcula diferența de ieșire $\Delta\beta$ pentru orice pereche de intrare (α' , $\alpha'' = \alpha' \oplus \Delta\alpha$).

De exemplu, Tabela 2 prezintă valorile (binare) pentru α, β , și valorile $\Delta\beta$ pentru perechile de intrare ($\alpha, \alpha \oplus \Delta\alpha$), unde $\Delta\alpha$ are valorile

1011 (*hex B*), 1000 (*hex 8*) și 0100 (*hex 4*).

α	β	$\Delta\alpha = 1011$	$\Delta\alpha = 1000$	$\Delta\alpha = 0100$
0000	1110	0010	1101	1100
0001	0100	0010	1110	1011
0010	1101	0111	0101	0110
0011	0001	0010	1011	1001
0100	0010	0101	0111	1100
0101	1111	1111	0110	1011
0110	1011	0010	1011	0110
0111	1000	1101	1111	1001
1000	0011	0010	1101	0110
1001	1010	0111	1110	0011
1010	0110	0010	0101	0110
1011	1100	0010	1011	1011
1100	0101	1101	0111	0110
1101	1001	0010	0110	0011
1110	0000	1111	1011	0110
1111	0111	0101	1111	1011

Tabela 2. Perechi de diferențe într-un S - box

De exemplu, pentru $\alpha = 0000$ și $\Delta\alpha = 1011$ avem $\alpha' = \alpha \oplus \Delta\alpha = 1011$. Ieșirea (în binar) pentru intrarea α' este, conform Tabelei 1, $\beta' = 1100$ (*hex C*), deci $\Delta\beta = \beta \oplus \beta' = 1110 \oplus 1100 = 0010$, valoare care apare pe coloana a treia din tabelă.

Analizând Tabela 2, vedem că numărul aparițiilor lui $\Delta\beta = 0010$ pentru $\Delta\alpha = 1011$ (coloana 3) este 8 din 16 valori posibile (deci probabilitate 8/16). Similar, numărul de apariții $\Delta\beta = 1011$ pentru $\Delta\alpha = 1000$ este 4 (din 16), iar numărul de apariții ale lui $\Delta\beta = 1010$ pentru $\Delta\alpha = 0100$ este 0 (din 16).

Putem aduna toate datele unui S - box într-o tabelă de distribuție a diferențelor, în care liniile reprezintă valorile $\Delta\alpha$, iar coloanele – valorile $\Delta\beta$ (toate în hexazecimal).

Revenind la exemplul nostru, tabela de distribuție a diferențelor pentru S -boxul din Tabela 1, este dată de Tabela 3:

	0	1	2	3	4	5	6	7	8	9	A	B	C	D	E	F
0	16	0	0	0	0	0	0	0	0	0	0	0	0	0	0	0
1	0	0	0	2	0	0	0	2	0	2	4	0	4	2	0	0
2	0	0	0	2	0	6	2	2	0	2	0	0	0	0	2	0
3	0	0	2	0	2	0	0	0	0	4	2	0	2	0	0	4
4	0	0	0	2	0	0	6	0	0	2	0	4	2	0	0	0
5	0	4	0	0	0	2	2	0	0	0	4	0	2	0	0	2
6	0	0	0	4	0	4	0	0	0	0	0	0	2	2	2	2
7	0	0	2	2	2	0	2	0	0	2	2	0	0	0	0	4
8	0	0	0	0	0	0	2	2	0	0	0	4	0	4	2	2
9	0	2	0	0	2	0	0	4	2	0	2	2	2	0	0	0
A	0	2	2	0	0	0	0	0	6	0	0	2	0	0	4	0
B	0	0	8	0	0	2	0	2	0	0	0	0	0	2	0	2
C	0	2	0	0	2	2	2	0	0	0	0	2	0	6	0	0
D	0	4	0	0	0	0	0	4	2	0	2	0	2	0	2	0
E	0	0	2	4	2	0	0	0	6	0	0	0	0	0	2	0
F	0	2	0	0	6	0	0	0	0	4	0	2	0	0	2	0

Tabela 3. Tabela de distribuție a diferențelor

Fiecare element al tabelii reprezintă numărul de apariții ale diferenței de ieșire $\Delta\beta$, fiind dată diferența de intrare $\Delta\alpha$.

Observația 6.1.

1. În afară de situația specială ($\Delta\alpha = 0$, $\Delta\beta = 0$), cea mai mare valoare din tabelă este 8; ea corespunde lui $\Delta\alpha = B$ și $\Delta\beta = 2$. Deci, pentru o pereche de intrări arbitrare cu $\Delta\alpha = B$, probabilitatea ca $\Delta\beta = 2$ este $8/16 = 1/2$.
2. Cea mai mică valoare din tabelă este 0; în acest caz, probabilitatea de apariție a valorii $\Delta\beta$ pentru $\Delta\alpha$ corespunzător, este 0.
3. Suma elementelor pe fiecare linie este $2^n = 16$; similar, suma pe fiecare coloană este tot $2^n = 16$.

4. Toate valorile din tabel sunt numere pozitive pare; motivul este acela că o pereche de valori de intrare/ieșire (α', α'') are aceeași diferență $\Delta\alpha$ ca și perechea (α'', α') .
5. Pentru un S - box injectiv, o diferență de intrare $\Delta\alpha = 0$ va duce la o diferență de ieșire $\Delta\beta = 0$.

Ca o consecință, prima linie și prima coloană vor fi 0, cu excepția intersecției lor, unde va fi valoarea $2^n = 16$.

Dacă s-ar putea construi un S - box ideal, care să nu ofere nici o informație de tip diferențial între intrări și ieșiri, atunci toate valorile din tabela sa de distribuție a diferențelor vor fi egale cu 1, iar probabilitatea de apariție a unei diferențe $\Delta\beta$ atunci când diferența de intrare este $\Delta\alpha$, va fi $1/2^n = 1/16$.

Totuși pe baza proprietăților arătate în Observația 6.1, un astfel de S - box ideal nu este posibil.

6.4.3 Rețea substituție - permutare

O rețea substituție - permutare (*Substitution Permutation Network – SPN*) este un sistem de criptare bloc, format din mai multe runde, fiecare rundă conținând o substituție și o permutare. Cheia este expandată în mod similar sistemelor uzuale și fiecare cheie de rundă va fi XOR -ată cu mesajul la începutul fiecărei runde.

Un SPN păstrează proprietățile generale folosite în construirea sistemelor de criptare uzuale (inclusiv DES și AES).

În prezentarea criptanalizei diferențiale (și apoi a celei liniare) vom utiliza un SPN care criptează un text clar de 16 biți într-un mesaj de 16 biți. Cheia are de asemenea 16 biți și este expandată în 5 sub-chei de rundă, de câte 16 biți fiecare. La fiecare rundă, cei 16 biți de intrare sunt XOR - ați cu cheia de rundă, apoi sunt separați în patru blocuri de câte 4 biți, iar fiecare bloc trece prin câte un S - box. La sfârșitul runde, cei 16 biți sunt permutați.

În cazul nostru, vom folosi același S - box pentru toate blocurile și toate rundele; anume S - boxul definit de Tabela 1 (prima linie din S_1 - boxul definit în DES).

Permutarea utilizată este aceeași pentru toate rundele:

1	2	3	4	5	6	7	8	9	10	11	12	13	14	15	16
1	5	9	13	2	6	10	14	3	7	11	15	4	8	12	16

Tabela 4: O permutare utilizată în construirea unui SPN

Figura 2 prezintă schematic structura unui SPN:

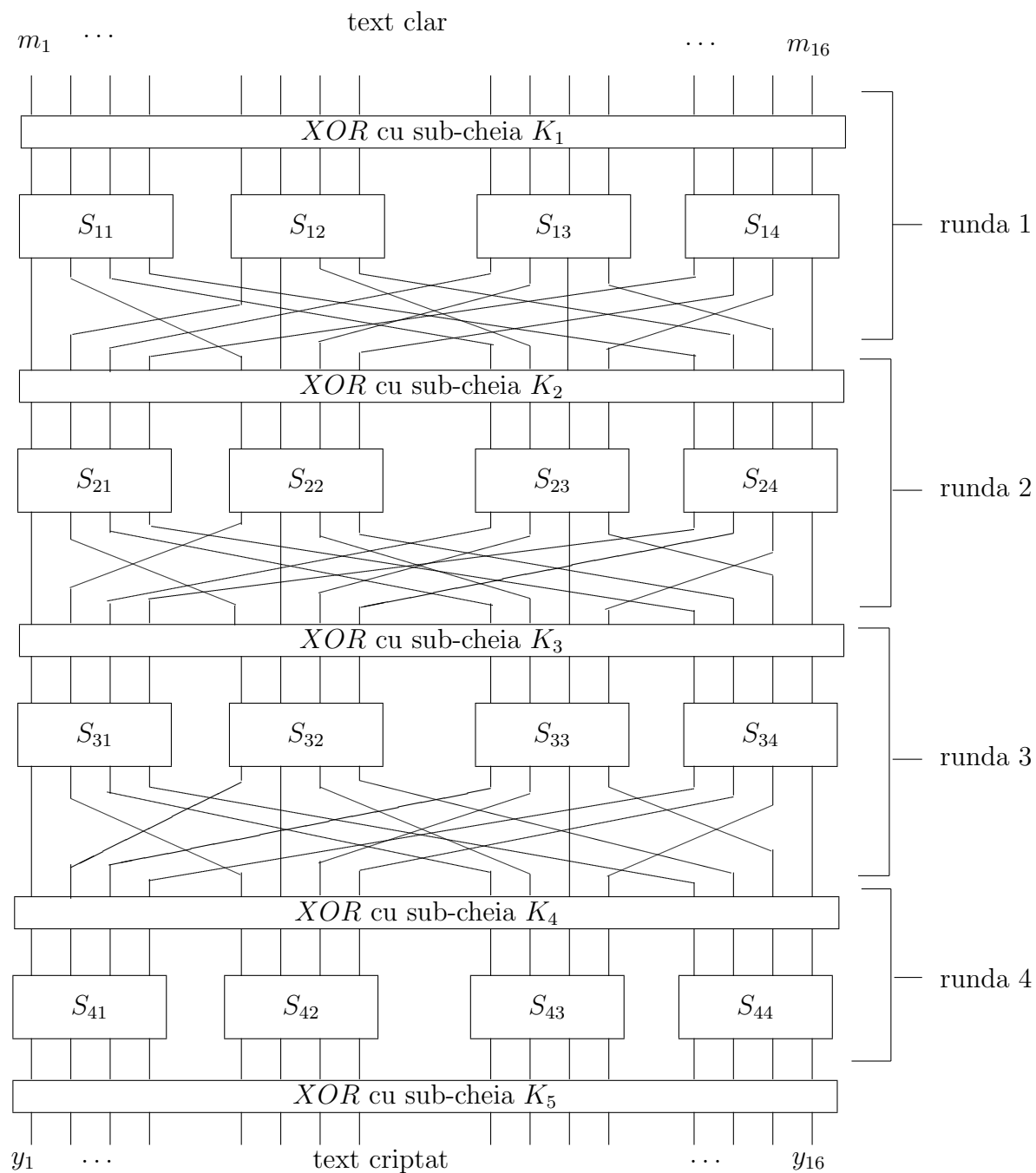


Figura 2: Structura generală a unui SPN.

6.4.4 Diferențiala caracteristică într-un SPN

În această secțiune vom construi o modalitate de atac prin criptanaliză diferențială asupra unui SPN , având ca scop aflarea unui set de biți din sub-cheia folosită în ultima rundă.

Să considerăm SPN -ul din Figura 2.

Vom nota cu U_i intrarea în S - boxurile din runda i , iar cu V_i - ieșirea din S - boxuri în runda i .

Să începem cu două texte clare, a căror diferență este

$$\Delta U_1 = [0000\ 1011\ 0000\ 0000]$$

Deci singurul S - box activ în prima rundă este S_{12} (celelalte S - boxuri sunt inactive: intrarea este 0, deci și ieșirea va fi tot 0). Folosind Tabela 2, obținem diferența de ieșire

$$\Delta V_1 = [0000\ 0010\ 0000\ 0000]$$

Altfel spus,

$$S_{12} : \quad \Delta\alpha = B_{16} = 1011 \quad \implies \quad \Delta\beta = 2_{16} = 0010 \text{ cu probabilitate } 8/16 = 1/2.$$

Urmărind acum permutarea de la sfârșitul primei runde, găsim mesajul de intrare în S - boxurile celei de-a doua runde:

$$\Delta U_2 = [0000\ 0000\ 0100\ 0000]$$

cu probabilitate $1/2$.

În a doua rundă, singurul S - box activ este S_{23} . Vom avea perechea de diferențe

$$S_{23} : \quad \Delta\alpha = 4_{16} = 0100 \quad \implies \quad \Delta\beta = 6_{16} = 0110 \text{ cu probabilitate } 6/16 = 3/8.$$

Am obținut deci ieșirea

$$\Delta V_2 = [0000\ 0000\ 0110\ 0000]$$

iar permutarea de la sfârșitul rundeii a doua va da

$$\Delta U_3 = [0000\ 0010\ 0010\ 0000]$$

cu probabilitate $3/8$.

În a treia rundă sunt active două S - boxuri: S_{32} și S_{33} :

$$S_{32} : \quad \Delta\alpha = 2_{16} = 0010 \quad \implies \quad \Delta\beta = 5_{16} = 0101 \text{ cu probabilitate } 6/16 = 3/8,$$

$$S_{33} : \quad \Delta\alpha = 2_{16} = 0010 \quad \implies \quad \Delta\beta = 5_{16} = 0101 \text{ cu probabilitate } 6/16 = 3/8.$$

Deci, ieșirea din S - boxurile din runda a treia este

$$\Delta V_3 = [0000\ 0101\ 0101\ 0000]$$

iar intrarea în runda a patra (după efectuarea permutării) este

$$\Delta U_4 = [0000\ 0110\ 0000\ 0110]$$

Cu alte cuvinte,

$$\Delta U_1 = [0000\ 1011\ 0000\ 0000] \implies \Delta V_3 = [0000\ 0101\ 0101\ 0000]$$

și

$$\Delta V_3 = [0000\ 0101\ 0101\ 0000] \implies \Delta U_4 = [0000\ 0110\ 0000\ 0110]$$

Rezultă

$$\Delta U_1 = [0000\ 1011\ 0000\ 0000] \implies \Delta U_4 = [0000\ 0110\ 0000\ 0110]$$

Tabela 3 de distribuție a diferențelor poate conduce la ideea unor probabilități condiționale independente (noțiune fără utilizare în matematică, dar extrem de intuitivă în această situație):

$$Pr[\Delta\beta|\Delta\alpha] = (\Delta\alpha, \Delta\beta)$$

Pe baza acestei relații, diferențialele pot fi compuse. Astfel, pentru cazul studiat mai sus, vom avea

$$(0000\ 1011\ 0000\ 0000, 0000\ 0110\ 0000\ 0110) = \frac{1}{2} \cdot \frac{3}{8} \cdot \frac{3}{8} \cdot \frac{3}{8} = \frac{27}{1024}$$

Altfel spus, diferențiala caracteristică $(0000\ 1011\ 0000\ 0000, 0000\ 0110\ 0000\ 0110)$ apare cu probabilitatea $27/1024$.

Să vedem cum pot fi extrași acum biții din cheie, pe baza acestei informații.

6.4.5 Extragerea biților din cheie

După ce am obținut diferențiala caracteristică a rundelor, putem construi un atac din care să rezulte o parte din biții care formează cheia de criptare.

Într-un sistem de criptare bloc cu N runde, vom ataca runda $N - 1$. Astfel, în cazul rețelei SPN , vom putea extrage biți din sub-cheia K_5 atacând a patra rundă.

Pentru o decriptare a textului obținut după ultima rundă, trebuie să mergem în sens invers: anume, realizăm un XOR între textul criptat și sub-cheia ultimei runde – care este influențată de diferențialele nenule – iar apoi trecem datele în sens invers prin S -boxuri. Operația XOR o realizăm folosind toate valorile posibile ale sub-cheii.

Rezumând, vom face un XOR între textul criptat cu toate sub-cheile posibile, după care vom aplica inversele S -boxelor.

Această căutare a cheii poate fi mult redusă dacă luăm numai perechile "bune" (perechile pentru care se obțin diferențiale caracteristice).

De exemplu, o pereche "bună" a fost obținută în secțiunea precedentă: ea are $U_{41} = U_{43} = 0000$ iar U_{42} și U_{44} conțin diferențiale nenule (U_{ij} reprezintă intrarea în S -boxul j din runda i).

Decriptarea este obținută pentru toate perechile de mesaje criptate care corespund perechilor de texte clare având diferența de intrare fixată $\Delta\alpha$.

Figura 3 trasează modalitatea de decriptare pentru diferențiala caracteristică detaliată în secțiunea precedentă.

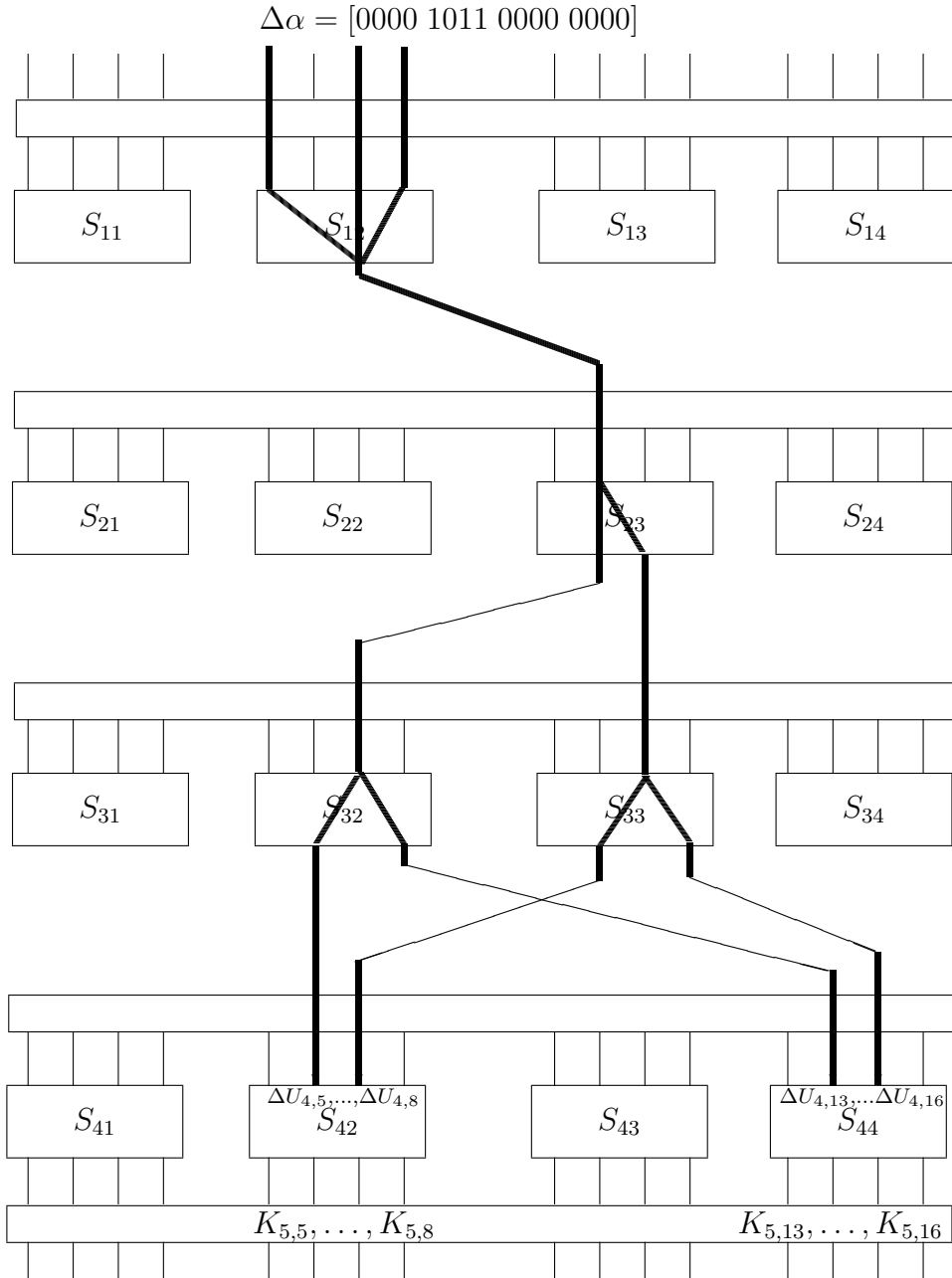


Figura 3: Diferențiala caracteristică, cu $\Delta\alpha$ ca diferență de intrare

Pentru fiecare sub-cheie posibilă, ai cărei biți sunt influențați de diferențele nenule din diferențiale, definim câte un counter. Acești counteri sunt incrementați atunci când intrarea în ultima rundă coincide cu valoarea prevăzută de diferențiala caracteristică.

În final, sub-cheia cu valoare maximă a counterului atașat va fi considerată drept cea corectă; restul biților din sub-cheie vor fi găsiți cu o căutare prin forță brută.

În exemplul din Figura 2, diferențiala caracteristică a influențat S - boxurile S_{42} și S_{44} din ultima rundă; deci – pentru orice pereche de mesaje criptate – încercăm toate cele 256 variante pentru $[K_{5,5} \dots K_{5,8}, K_{5,13} \dots K_{5,16}]$, și – de câte ori diferența la intrarea în ultima rundă determinată de decriptare este

$$\Delta U_4 = [0000\ 0110\ 0000\ 0110]$$

va fi incrementat counterul asociat.

6.4.6 Criptanaliza diferențială pentru DES

Într-un astfel de atac se ignoră permutarea inițială IP și inversa sa (ele nu joacă nici un rol în criptanaliză). Ne vom mărgini la un DES restrâns pe n ($n \leq 16$) runde.

Deci textul clar este L_0R_0 , iar cel criptat – L_nR_n (vom ignora de asemenea inversarea finală dintre L_n și R_n).

Pentru criptanaliza diferențială vom considera două texte clare L_0R_0 , $L_0^*R_0^*$ și textele criptate corespunzătoare L_nR_n respectiv $L_n^*R_n^*$.

Diferențele sunt $L_0'R_0' = L_0R_0 \oplus L_0^*R_0^*$ și $L_n'R_n' = L_nR_n \oplus L_n^*R_n^*$.

Definiția 6.1. Fie S_j ($1 \leq j \leq 8$) un S - box din sistemul de criptare DES . Pentru orice pereche (B_j, B_j^*) de șiruri de 6 biți, vom defini XOR -ul de intrare pentru S_j prin $B_j' = B_j \oplus B_j^*$, iar XOR -ul de ieșire prin $S_j(B_j) \oplus S_j(B_j^*)$.

De remarcat că un XOR de intrare este o secvență de 6 biți, iar un XOR de ieșire este o secvență de 4 biți.

Definiția 6.2. Pentru orice $B_j' \in Z_2^6$ se notează $\Delta(B_j')$ mulțimea perechilor (B_j, B_j^*) care prin XOR dau B_j' .

Observația 6.2.

- O mulțime $\Delta(B_j')$ conține $2^6 = 64$ elemente;
- $\Delta(B_j') = \{(B_j, B_j \oplus B_j') \mid B_j \in Z_2^6\}$.

Pentru fiecare pereche din $\Delta(B_j')$ vom calcula XOR -ul de ieșire al lui S_j și construim o tabelă de distribuții ale valorilor obținute (sunt 64 ieșiri pe un spațiu de $2^4 = 16$ valori posibile). Pe această tabelă se va baza atacul de criptanaliză diferențială.

Exemplul 6.2. Să considerăm primul S - box S_1 și XOR -ul de intrare 110100. Vom avea:

$$\Delta(110100) = \{(000000, 110100), (000001, 110101), \dots, (111111, 001011)\}.$$

Pentru fiecare pereche din $\Delta(110100)$ vom calcula XOR -ul de ieșire al lui S_1 . De exemplu, $S_1(000000) = E_{16} = 1110$, $S_1(110100) = 9_{16} = 1001$ deci XOR -ul de ieșire S_1 al perechii $(000000, 110100)$ este 0111.

Efectuând acest calcul pentru toate cele 64 perechi din $\Delta(110100)$, vom obține distribuția următoare a XOR -urilor de ieșire pentru S_1 :

0000	0001	0010	0011	0100	0101	0110	0111
0	8	16	6	2	0	0	12
1000	1001	1010	1011	1100	1101	1110	1111
6	0	0	0	0	8	0	6

În Exemplul 6.2 au apărut numai 8 din cele 16 valori de ieșire posibile. În general, dacă se fixează un S - box S_j și un XOR de intrare diferit de 000000, se constată că vor apare aproximativ 75 – 80 % din valorile posibile de ieșire.

Definiția 6.3. Pentru $1 \leq j \leq 8$ și secvențele B_j' , C_j' de 6 respectiv 4 biți, definim

$$IN_j(B_j', C_j') = \{B_j \in Z_2^6 \mid S_j(B_j) \oplus S_j(B_j \oplus B_j') = C_j'\},$$

$$N_j(B_j', C_j') = \text{card}(IN_j(B_j', C_j')).$$

Distribuția dată în Exemplul 6.2 dă valorile $N_1(110100, C_1')$, $C_1' \in Z_2^4$. Toate aceste valori se găsesc în Tabela 5.

Pentru fiecare din cele 8 S - boxuri există 64 XOR -uri de intrare posibile; deci în total vor fi 512 date de distribuit, lucru ușor de realizat cu un calculator.

Reamintim că intrarea într-un S - box la runda i este $B = E \oplus J$, unde $E = E(R_{i-1})$ este rezultatul expandării lui R_{i-1} , iar $J = K_i$ este un subșir reordonat al cheii K . XOR -ul de intrare (al celor 8 S - boxuri) este deci

$$B \oplus B^* = (E \oplus J) \oplus (E^* \oplus J) = E \oplus E^*.$$

De remarcat că XOR -urile de intrare nu depind de sub-cheia J , pe când XOR -urile de ieșire depind.

XOR de ieșire	intrări posibile
0000	
0001	000011, 001111, 011110, 011111, 101010, 101011, 110111, 111011
0010	000100, 000101, 001110, 010001, 010010, 010100, 011010, 011011 100000, 100101, 010110, 101110, 101111, 110000, 110001, 111010
0011	000001, 000010, 010101, 100001, 110101, 110110
0100	010011, 100111
0101	
0110	
0111	000000, 001000, 001101, 010111, 011000, 011101, 100011, 101001 101100, 110100, 111001, 111100
1000	001001, 001100, 011001, 101101, 111000, 111101
1001	
1010	
1011	
1100	
1101	000110, 010000, 010110, 011100, 100010, 100100, 101000, 110010
1110	
1111	000111, 001010, 001011, 110011, 111110, 111111

Tabela 5: Distribuția valorilor intrare/ieșire pentru S_1

Să detaliem pe grupuri de câte 6 biți, cuvintele cu care se lucrează:

$$B = B_1B_2B_3B_4B_5B_6B_7B_8, \quad E = E_1E_2E_3E_4E_5E_6E_7E_8, \quad J = J_1J_2J_3J_4J_5J_6J_7J_8$$

În mod similar se scriu B^* și E^* . Să presupunem acum că se știu valorile E_j și E_j^* pentru un j ($1 \leq j \leq 8$) dat, precum și valoarea XOR de ieșire $C_j' = S_j(B_j) \oplus S_j(B_j^*)$ a lui S_j . Vom avea

$$E_j \oplus J_j \in IN_j(E_j', C_j')$$

unde $E_j' = E_j \oplus E_j^*$.

Fie mulțimea $test_j$ definită astfel:

$$test_j(E_j, E_j^*, C_j') = \{B_j \oplus E_j \mid B_j \in IN_j(E_j', C_j')\}$$

(s-au luat toate XOR -urile lui E_j cu elemente din $IN_j(E_j', C_j')$).

Din aceste considerații rezultă imediat teorema:

Teorema 6.1. *Dacă E_j, E_j^* sunt subsecvențe construite pentru intrarea în S - boxul S_j , iar C_j' este XOR -ul de ieșire al lui S_j , atunci biții sub-cheii J_j apar în $test_j(E_j, E_j^*, C_j')$.*

Cum se poate remarca, există exact $N_j(E_j', C_j')$ secvențe de 6 biți în $test_j(E_j, E_j^*, C_j')$; valoarea corectă J_j este una din acestea.

Exemplul 6.3. Să considerăm $E_1 = 000001$, $E_1^* = 110101$, $C_1' = 1101$. Deoarece $N_1(110100, 1101) = \{000110, 010000, 010110, 011100, 100010, 101000, 110010\}$ are 8 elemente, există 8 secvențe posibile pentru J_1 , cumulate în $test_1(000001, 110101, 1101) = \{000111, 010001, 010111, 011101, 100011, 100101, 101001, 110011\}$.

Dacă se ia un alt triplet (E_1, E_1^*, C_1') , vom obține altă mulțime $test_1$ cu valori pentru J_1 , deci valoarea corectă se va găsi în intersecția lor.

Atacul unui DES definit pe trei runde

Să vedem cum se aplică aceste idei pentru un DES construit pe 3 runde. Începem cu o pereche de texte clare L_0R_0 și $L_0^*R_0^*$, criptate în L_3R_3 respectiv $L_3^*R_3^*$. Vom avea

$$R_3 = L_2 \oplus f(R_2, K_3) = R_1 \oplus f(R_2, K_3) = L_0 \oplus f(R_0, K_1) \oplus f(R_2, K_3).$$

Construcția pentru R_3^* este similară. Deci

$$R_3' = L_0' \oplus f(R_0, K_1) \oplus f(R_0^*, K_1) \oplus f(R_2, K_3) \oplus f(R_2^*, K_3).$$

Să presupunem că s-a ales $R_0 = R_0^*$, deci $R_0' = 00 \dots 0$.

Atunci $f(R_0, K_1) = f(R_0^*, K_1)$ și deci $R_3' = L_0' \oplus f(R_2, K_3) \oplus f(R_2^*, K_3)$.

R_3' se poate calcula pe baza textelor criptate, iar L_0' – pe baza textelor clare; deci se poate determina $f(R_2, K_3) \oplus f(R_2^*, K_3) = R_3' \oplus L_0'$.

Avem $f(R_2, K_3) = P(C)$, $f(R_2^*, K_3) = P(C^*)$ unde C respectiv C^* sunt ieșirile corespunzătoare din cele 8 S - boxuri (reamintim, P este o permutare fixată din descrierea sistemului DES). Deci $P(C) \oplus P(C^*) = R_3' \oplus L_0'$, de unde

$$C' = C \oplus C^* = P^{-1}(R_3' \oplus L_0').$$

Acesta este XOR-ul de ieșire din cele opt S - boxuri, după a treia rundă.

$R_2 = L_3$ și $R_2^* = L_3^*$ sunt cunoscute (componente ale textelor criptate); deci se poate calcula

$$E = E(L_3), \quad E^* = E(L_3^*)$$

folosind funcția de expansiune E . Aceste valori sunt intrările în S - boxuri la runda a treia. Se cunosc deci E, E^*, C' la a treia rundă și se poate trece – așa cum am văzut – la construcția mulțimilor $test_1, test_2, \dots, test_8$ de valori posibile pentru J_1, J_2, \dots, J_8 .

Un algoritm pentru această metodă este formalizat mai jos. Atacul folosește mai multe triplete E, E^*, C' . Se utilizează opt tabele de valori și se determină astfel cei 48 biți ai subcheii K_3 de la a treia rundă. Cheia de 56 biți se calculează apoi printr-o căutare exhaustivă a celor $2^8 = 256$ posibilități pentru cei 8 biți rămași necunoscuți.

Intrare: $L_0R_0, L_0^*R_0^*, L_3R_3, L_3^*R_3^*$ cu $R_0 = R_0^*$.

1. $C' \leftarrow P^{-1}(R_3' \oplus L_0')$
2. $E \leftarrow E(L_3), E^* \leftarrow E(L_3^*)$
3. **for** $j := 1$ **to** 8 **do** $test_j(E_j, E_j^*, C_j)$.

6.5 Criptanaliza liniară

Criptanaliza liniară este – împreună cu cea diferențială – unul din atacurile de bază utilizate contra sistemelor de criptare bloc.

Autorul ei este Mitsuru Matsui, care a aplicat-o prima oară în 1992, ca un atac asupra sistemului de criptare FEAL ([34]). Ulterior, Matsui a publicat un atac similar asupra sistemului *DES*, probabil prima criptanaliză experimentală prezentată public asupra unui sistem de criptare bloc ([36],[35],[37]).

Practic, un atac asupra sistemului *DES* nu este însă viabil, el necesitând 2^{43} texte clare cunoscute.

Ulterior au fost construite diverse rafinări ale atacurilor prin criptanaliză liniară, folosind aproximări liniare multiple sau aproximări locale cu expresii neliniare.

6.5.1 Modalitatea generală de atac

Criptanaliza liniară este un atac cu text clar ales și folosește o relație liniară de aproximare pentru descrierea sistemului de criptare bloc. Fiind dat un număr suficient de mare de perechi (*text clar*, *text criptat*) se pot obține informații despre cheie, cu o probabilitate acceptabilă.

Vom ilustra acest atac folosind aceeași structură *SPN* definită în Figura 2 pentru criptanaliza diferențială. El este construit plecând de la prima linie din S_1 - boxul *DES* (privită ca un 4×4 *S* - box) și permutarea definită în Tabela 4.

Ideea de bază este de a aproxima statistic funcționarea unei porțiuni din sistemul de criptare printr-o expresie liniară (față de operația *XOR*). O astfel de expresie este de forma

$$a_{i_1} \oplus a_{i_2} \oplus \dots \oplus a_{i_u} \oplus b_{j_1} \oplus b_{j_2} \oplus \dots \oplus b_{j_v} = 0 \quad (1)$$

unde a_i reprezintă al i -lea bit al intrării $\alpha = (a_1, a_2, \dots)$, iar b_j reprezintă al j -lea bit al ieșirii $\beta = (b_1, b_2, \dots)$.

Scopul criptanalizei liniare este de a determina expresii de forma (1), cu o probabilitate mare sau mică de apariție (deci cât mai diferită de $1/2$).

Evident, rezistența unui sistem de criptare la criptanaliza liniară este cu atât mai mare cu cât astfel de relații sunt mai puține. Existența unei relații de tip (1) – cu probabilitate mare sau mică – denotă o abilitate scăzută a sistemului de criptare privind difuzia datelor criptate.

În general, dacă alegem aleator valori pentru $u + v$ biți și le plasăm într-o relație de tip (1), probabilitatea ca relația să fie verificată va fi $1/2$. Cu cât o astfel de probabilitate va fi mai depărtată de $1/2$, cu atât va fi mai ușor pentru criptanalist să atace sistemul folosind relația respectivă.

Dacă o expresie de tip (1) are loc cu probabilitate p_L pentru texte clare și texte criptate alese aleator, vom nota *tendința*¹ relației respective prin $\epsilon_L = p_L - 1/2$.

Cu cât magnitudinea tendinței $|p_L - 1/2|$ este mai mare, cu atât mai puține texte clare va avea nevoie un atac ca să reușească.

Observația 6.3. Dacă $p_L = 1$, atunci expresia liniară (1) reprezintă în totalitate comportarea sistemului de criptare; deci acesta nu va asigura nici o securitate.

Dacă $p_L = 0$, atunci (1) reprezintă o relație afină în sistemul de criptare, de asemenea indicul unei slăbiciuni catastrofice.

Dacă operația de adunare folosită este mod 2 (deci XOR), atunci o funcție afină este complementara unei funcții liniare. Atât aproximările liniare cât și cele afine, indicate de $p_L > 1/2$ respectiv $p_L < 1/2$, sunt folosite în egală măsură de criptanaliza liniară.

În mod natural apare întrebarea:

Cum pot fi găsite expresii statistic liniare (deci utilizabile în criptanaliza liniară) ?

Evident, problema se pune relativ la componenta neliniară a sistemelor de criptare, deci relativ la S - boxuri. Când evaluăm proprietățile neliniare ale unui S - box, este posibil să găsim aproximări liniare între seturi de biți de intrare și de ieșire din S - box. Ulterior, este posibil să concatenăm astfel de aproximări liniare ale diverselor S - boxuri, astfel încât să eliminăm biții intermediari (aflați în interiorul sistemului de criptare) și să obținem o expresie liniară – cu tendință semnificativă – între seturi de biți din textul clar și biți de intrare în ultima rundă.

6.5.2 Lema Piling-Up

Fie X_1, X_2 două variabile aleatoare. Relația $X_1 \oplus X_2 = 0$ este o expresie liniară, echivalentă cu $X_1 = X_2$. Similar, $X_1 \oplus X_2 = 1$ este o expresie afină echivalentă cu $X_1 \neq X_2$.

Să considerăm o probabilitate definită

$$Pr[X_1 = i] = \begin{cases} p_1, & \text{dacă } i = 0 \\ 1 - p_1 & \text{dacă } i = 1 \end{cases}$$

și

$$Pr[X_2 = i] = \begin{cases} p_2, & \text{dacă } i = 0 \\ 1 - p_2 & \text{dacă } i = 1 \end{cases}$$

Dacă cele două variabile aleatoare sunt independente, atunci

$$Pr[X_1 = i, X_2 = j] = \begin{cases} p_1 p_2, & \text{dacă } i = 0, j = 0 \\ p_1(1 - p_2), & \text{dacă } i = 0, j = 1 \\ (1 - p_1)p_2, & \text{dacă } i = 1, j = 0 \\ (1 - p_1)(1 - p_2), & \text{dacă } i = 1, j = 1 \end{cases}$$

¹în engleză *bias*.

și se poate arăta imediat că

$$Pr[X_1 \oplus X_2 = 0] = Pr[X_1 = X_2] = Pr[X_1 = 0, X_2 = 0] + Pr[X_1 = 1, X_2 = 1] = p_1 p_2 + (1 - p_1)(1 - p_2)$$

Pentru a simetriza formulele, introducem o nouă variabilă numită *tendință* definită

$$\epsilon_i = p_i - \frac{1}{2}, \quad \epsilon_i \in \left[-\frac{1}{2}, \frac{1}{2}\right]$$

Atunci

$$Pr[X_i = 0] = \frac{1}{2} + \epsilon_i, \quad Pr[X_i = 1] = \frac{1}{2} - \epsilon_i$$

Lema 6.2. (*Piling - up*): Fie X_1, X_2, \dots, X_n variabile aleatoare independente și pentru $1 \leq i_1 < i_2 < \dots < i_k \leq n$, fie $\epsilon_{i_1, i_2, \dots, i_k}$ tendința variabilei aleatoare $X_{i_1} \oplus X_{i_2} \oplus \dots \oplus X_{i_k}$. Atunci

$$\epsilon_{i_1, i_2, \dots, i_k} = 2^{k-1} \prod_{j=1}^k \epsilon_{i_j}.$$

sau - echivalent:

$$Pr[X_1 \oplus \dots \oplus X_k = 0] = 1/2 + 2^{k-1} \prod_{i=1}^k \epsilon_i$$

Demonstrație. Prin inducție după k . Pentru $k = 1$ egalitatea este banală. Pentru $k = 2$ se verifică ușor relația $\epsilon_{i_1, i_2} = 2\epsilon_{i_1}\epsilon_{i_2}$.

Presupunem egalitatea adevărată pentru $k = p$ și să o arătăm pentru $k = p + 1$. Din faptul că tendința lui $X_{i_1} \oplus \dots \oplus X_{i_p}$ este $2^{p-1} \prod_{j=1}^p \epsilon_{i_j}$ rezultă

$$Pr[X_{i_1} \oplus \dots \oplus X_{i_p} = 0] = \frac{1}{2} + 2^{p-1} \prod_{j=1}^p \epsilon_{i_j} \quad \text{și}$$

$$Pr[X_{i_1} \oplus \dots \oplus X_{i_p} = 1] = \frac{1}{2} - 2^{p-1} \prod_{j=1}^p \epsilon_{i_j}$$

De aici putem calcula

$$Pr[X_{i_1} \oplus \dots \oplus X_{i_p} \oplus X_{i_{p+1}} = 0] = \left(\frac{1}{2} + 2^{p-1} \prod_{j=1}^p \epsilon_{i_j}\right) \left(\frac{1}{2} + \epsilon_{i_{p+1}}\right) + \left(\frac{1}{2} - 2^{p-1} \prod_{j=1}^p \epsilon_{i_j}\right) \left(\frac{1}{2} - \epsilon_{i_{p+1}}\right) = \frac{1}{2} + 2^p \prod_{j=1}^{p+1} \epsilon_{i_j}. \quad \square$$

Corolarul 6.1. Fie $\epsilon_{i_1, i_2, \dots, i_k}$ tendința variabilei aleatoare $X_{i_1} \oplus \dots \oplus X_{i_k}$.

1. Dacă $\exists j$ cu $\epsilon_{i_j} = 0$ atunci $\epsilon_{i_1, i_2, \dots, i_k} = 0$.
2. Dacă $\epsilon_{i_j} = \pm 1/2$, ($j = 1, \dots, k$) atunci $\epsilon_{i_1, i_2, \dots, i_k} = \pm 1/2$.

Exemplul 6.4. Să considerăm patru variabile aleatoare independente X_1, X_2, X_3, X_4 . Fie $Pr[X_1 \oplus X_2 = 0] = 1/2 + \epsilon_{1,2}$ și $Pr[X_2 \oplus X_3 = 0] = 1/2 + \epsilon_{2,3}$.

Suma $X_1 \oplus X_3$ poate fi obținută adunând $X_1 \oplus X_2$ cu $X_2 \oplus X_3$. Deci

$$Pr[X_1 \oplus X_3 = 0] = Pr[(X_1 \oplus X_2) \oplus (X_2 \oplus X_3) = 0].$$

Deci prin combinarea expresiilor liniare se vor obține expresii liniare noi.

Considerând că variabilele aleatoare $X_1 \oplus X_2$ și $X_2 \oplus X_3$ sunt independente, putem aplica lema Piling - Up, pentru a determina

$$Pr[X_1 \oplus X_3 = 0] = 1/2 + 2\epsilon_{1,2}\epsilon_{2,3}$$

Deci $\epsilon_{1,3} = 2\epsilon_{1,2}\epsilon_{2,3}$.

6.5.3 Relații de aproximare a S - boxurilor

Să folosim S - boxul 4×4 definit de Figura 1.

Vom lua ca exemplu expresia liniară $a_2 \oplus a_3 \oplus b_1 \oplus b_3 \oplus b_4 = 0$ sau – echivalent – $a_2 \oplus a_3 = b_1 \oplus b_3 \oplus b_4$, unde (a_1, a_2, a_3, a_4) este reprezentarea în binar a intrării din Figura 1, iar (b_1, b_2, b_3, b_4) este reprezentarea binară a ieșirii. Aplicând la intrare toate cele $2^4 = 16$ valori posibile și examinând valorile de ieșire corespunzătoare, se poate observa (din Tabela 6) că expresia este verificată pentru 12 din cele 16 cazuri.

Deci tendința de probabilitate este $12/16 = 1/2 = 1/4$.

(a_1, a_2, a_3, a_4)	(b_1, b_2, b_3, b_4)	$a_2 \oplus a_3$	$b_1 \oplus b_3 \oplus b_4$	$a_1 \oplus a_4$	$a_3 \oplus a_4$	$b_1 \oplus b_4$
(0, 0, 0, 0)	(1, 1, 1, 0)	0	0	0	0	1
(0, 0, 0, 1)	(0, 1, 0, 0)	0	0	1	1	0
(0, 0, 1, 0)	(1, 1, 0, 1)	1	0	0	1	0
(0, 0, 1, 1)	(0, 0, 0, 1)	1	1	1	0	1
(0, 1, 0, 0)	(0, 0, 1, 0)	1	1	0	0	0
(0, 1, 0, 1)	(1, 1, 1, 1)	1	1	1	1	0
(0, 1, 1, 0)	(1, 0, 1, 1)	0	1	0	1	0
(0, 1, 1, 1)	(1, 0, 0, 0)	0	1	1	0	1
(1, 0, 0, 0)	(0, 0, 1, 1)	0	0	1	0	1
(1, 0, 0, 1)	(1, 0, 1, 0)	0	0	0	1	1
(1, 0, 1, 0)	(0, 1, 1, 0)	1	1	1	1	0
(1, 0, 1, 1)	(1, 1, 0, 0)	1	1	0	0	1
(1, 1, 0, 0)	(0, 1, 0, 1)	1	1	1	0	1
(1, 1, 0, 1)	(1, 0, 0, 1)	1	0	0	1	0
(1, 1, 1, 0)	(0, 0, 0, 0)	0	0	1	1	0
(1, 1, 1, 1)	(0, 1, 1, 1)	0	0	0	0	1

Tabela 6: Exemple de aproximări liniare ale unui S - box

Similar, pentru relația $a_1 \oplus a_4 = b_2$ tendința de probabilitate este 0, iar pentru $a_3 \oplus a_4 = b_1 \oplus b_4$ tendința este $2/16 - 1/2 = -3/8$.

În general se pot construi $2^8 = 256$ expresii liniare cu (a_1, a_2, a_3, a_4) și (b_1, b_2, b_3, b_4) . Pentru fiecare din ele se poate da o reprezentare uniformă de tipul:

$$\left(\bigoplus_{i=1}^4 x_i \cdot a_i \right) \oplus \left(\bigoplus_{i=1}^4 y_i \cdot b_i \right)$$

unde $x_i, y_i \in \{0, 1\}$, ($1 \leq i \leq 4$) iar operațiile folosite sunt *AND* (\cdot) și *XOR* (\oplus). Vectorii binari (x_1, x_2, x_3, x_4) – numiți *sume de intrare* și (y_1, y_2, y_3, y_4) (*sume de ieșire*) vor fi codificați prin cifre hexazecimale.

Astfel, fiecare din cele 256 expresii liniare se va scrie în mod unic ca o pereche de două cifre hexazecimale.

a_1	a_2	a_3	a_4	b_1	b_2	b_3	b_4
0	0	0	0	1	1	1	0
0	0	0	1	0	1	0	0
0	0	1	0	1	1	0	1
0	0	1	1	0	0	0	1
0	1	0	0	0	0	1	0
0	1	0	1	1	1	1	1
0	1	1	0	1	0	1	1
0	1	1	1	1	0	0	0
1	0	0	0	0	0	1	1
1	0	0	1	1	0	1	0
1	0	1	0	0	1	1	0
1	0	1	1	1	1	0	0
1	1	0	0	0	1	0	1
1	1	0	1	1	0	0	1
1	1	1	0	0	0	0	0
1	1	1	1	0	1	1	1

Exemplul 6.5. Expresia $a_1 \oplus a_4 \oplus b_2$ va avea suma de intrare $(1, 0, 0, 1)$ care este 9 în hexazecimal, iar suma de ieșire este $(0, 1, 0, 0)$, care este 4 în hexazecimal. Deci perechea atașată variabilei este $(9, 4)$.

Pentru o expresie având suma de intrare $x = (x_1, x_2, x_3, x_4)$ și suma de ieșire $y = (y_1, y_2, y_3, y_4)$, fie $N_L(x, y)$ numărul octeților binari $(x_1, x_2, x_3, x_4, y_1, y_2, y_3, y_4)$ cu

$$\left(\bigoplus_{i=1}^4 x_i \cdot a_i \right) \oplus \left(\bigoplus_{i=1}^4 y_i \cdot b_i \right) = 0$$

Tendința unei astfel de expresii (alese aleator) este

$$\epsilon(x, y) = \frac{N_L(x, y) - 8}{16}.$$

O enumerare completă a tuturor tendințelor pentru S - boxul folosit de sistemul nostru de criptare, este dată de *tabela de aproximări liniare* (pentru a evita fracțiile, nu s-a efectuat împărțirea la 16):

	0	1	2	3	4	5	6	7	8	9	A	B	C	D	E	F
0	+8	0	0	0	0	0	0	0	0	0	0	0	0	0	0	0
1	0	0	-2	-2	0	0	-2	+6	+2	+2	0	0	+2	+2	0	0
2	0	0	-2	-2	0	0	-2	-2	0	0	+2	+2	0	0	-6	+2
3	0	0	0	0	0	0	0	0	+2	-6	-2	-2	+2	+2	-2	-2
4	0	+2	0	-2	-2	-4	-2	0	0	-2	0	+2	+2	-4	+2	0
5	0	-2	-2	0	-2	0	+4	+2	-2	0	-4	+2	0	-2	-2	0
6	0	+2	-2	+4	+2	0	0	+2	0	-2	+2	+4	-2	0	0	-2
7	0	-2	0	+2	+2	-4	+2	0	-2	0	+2	0	+4	+2	0	+2
8	0	0	0	0	0	0	0	0	-2	+2	+2	-2	+2	-2	-2	-6
9	0	0	-2	-2	0	0	-2	-2	-4	0	-2	+2	0	+4	+2	-2
A	0	+4	-2	+2	-4	0	+2	-2	+2	+2	0	0	+2	+2	0	0
B	0	+4	0	-4	+4	0	+4	0	0	0	0	0	0	0	0	0
C	0	-2	+4	-2	-2	0	+2	0	+2	0	+2	+4	0	+2	0	-2
D	0	+2	+2	0	-2	+4	0	+2	-4	-2	+2	0	+2	0	0	+2
E	0	+2	+2	0	-2	-4	0	+2	-2	0	0	-2	-4	+2	-2	0
F	0	-2	-4	-2	-2	0	+2	0	0	-2	+4	-2	-2	0	+2	0

Tabela 7: Tabela de aproximări liniare

Exemplul 6.6. *Tendința relației liniare $a_3 \oplus a_4 = b_1 \oplus b_4$ (intrare hex 3 și ieșire hex 9) este $-6/16 = -3/8$; deci probabilitatea ca această relație liniară să aibă loc este $1/2 - 3/8 = 1/8$.*

Din construcția de mai sus se pot obține imediat câteva proprietăți:

- Probabilitatea ca pentru o intrare 0 să obținem o anumită sumă nevidă de biți de ieșire este $1/2$ (deoarece pentru un S - box bijectiv, orice combinație liniară de biți de ieșire trebuie să conțină un număr egal de 0 și 1).
- Dacă suma biților de ieșire este 0, atunci suma biților de intrare este 0; deci o tendință $+1/2$ și o valoare $+8$ în Tabela 7. În consecință, prima linie din Tabela 7 este 0, cu excepția primului element. Aceeași proprietate o are și prima coloană.
- Suma elementelor pe o linie sau coloană este ± 8 (ușor de verificat).

6.5.4 Construirea aproximărilor liniare pentru un sistem bloc

Odată ce au fost stabilite aproximări liniare pentru S - boxurile unui SPN , putem merge mai departe, determinând o aproximare liniară de forma (1) pentru întreg sistemul de

criptare bloc. Aceasta se va realiza prin concatenarea aproximărilor liniare ale S -boxurilor consecutive.

După ce s-a obținut o aproximare liniară bazată pe biți din textul clar și biți care intră în ultima rundă a criptării, vom putea ataca sistemul găsind un subset de biți din cheia folosită în ultima rundă.

Ca și la criptanaliza diferențială, vom ilustra acest procedeu printr-un exemplu.

Să considerăm – conform Figurii 4 – aproximări liniare pentru S_{12}, S_{22}, S_{32} și S_{34} . Anume:

S_{12} : $a_1 \oplus a_3 \oplus a_4 = b_2$ cu probabilitate $12/16$ și tendință $+1/4$;

S_{22} : $a_2 = b_2 \oplus b_4$ cu probabilitate $4/16$ și tendință $-1/4$;

S_{32} : $a_2 = b_2 \oplus b_4$ cu probabilitate $4/16$ și tendință $-1/4$;

S_{34} : $a_2 = b_2 \oplus b_4$ cu probabilitate $4/16$ și tendință $-1/4$.

Reamintim, $U_i(V_i)$ va reprezenta un bloc de 16 biți care formează intrarea (ieșirea) din S -boxuri la runda i , iar $U_{i,j}(V_{i,j})$ va reprezenta al j -lea bit din blocul $U_i(V_i)$ (biții sunt numerotați de la 1 la 16).

Similar, K_i va reprezenta sub-cheia care se combină prin XOR cu biții de intrare în runda i (o excepție: sub-cheia K_5 se combină prin XOR cu biții de ieșire din runda 4).

Deci $U_1 = P \oplus K_1$ unde $P = (P_1, \dots, P_{16})$ reprezintă textul clar (de 16 biți). Folosind aproximarea liniară de la prima rundă, avem

$$V_{1,6} = U_{1,5} \oplus U_{1,7} \oplus U_{1,8} = (P_5 \oplus K_{1,5}) \oplus (P_7 \oplus K_{1,7}) \oplus (P_8 \oplus K_{1,8}) \quad (2)$$

cu probabilitate $3/4$.

Aproximarea din runda 2 va da relația

$$V_{2,6} \oplus V_{2,8} = U_{2,6}$$

cu probabilitate $1/4$. Deoarece $U_{2,6} = V_{1,6} \oplus K_{2,6}$, putem găsi o aproximare de forma

$$V_{2,6} \oplus V_{2,8} = V_{1,6} \oplus K_{2,6}$$

cu probabilitate $1/4$.

Combinând această relație cu (2) (care are loc cu probabilitate $3/4$), se obține

$$V_{2,6} \oplus V_{2,8} \oplus P_5 \oplus P_7 \oplus P_8 \oplus K_{1,5} \oplus K_{1,7} \oplus K_{1,8} \oplus K_{2,6} = 0 \quad (3)$$

cu probabilitate $1/2 + 2(3/4 - 1/2)(1/4 - 1/2) = 3/8$ (deci o tendință $-1/8$) obținută prin aplicarea Lemei 6.2.

Observația 6.4. În toată această secțiune folosim prezumția că aproximările S -boxurilor sunt independente; ipotetic, această ipoteză nu este foarte corectă, dar practic ea este valabilă pentru aproape toate sistemele de criptare bloc.

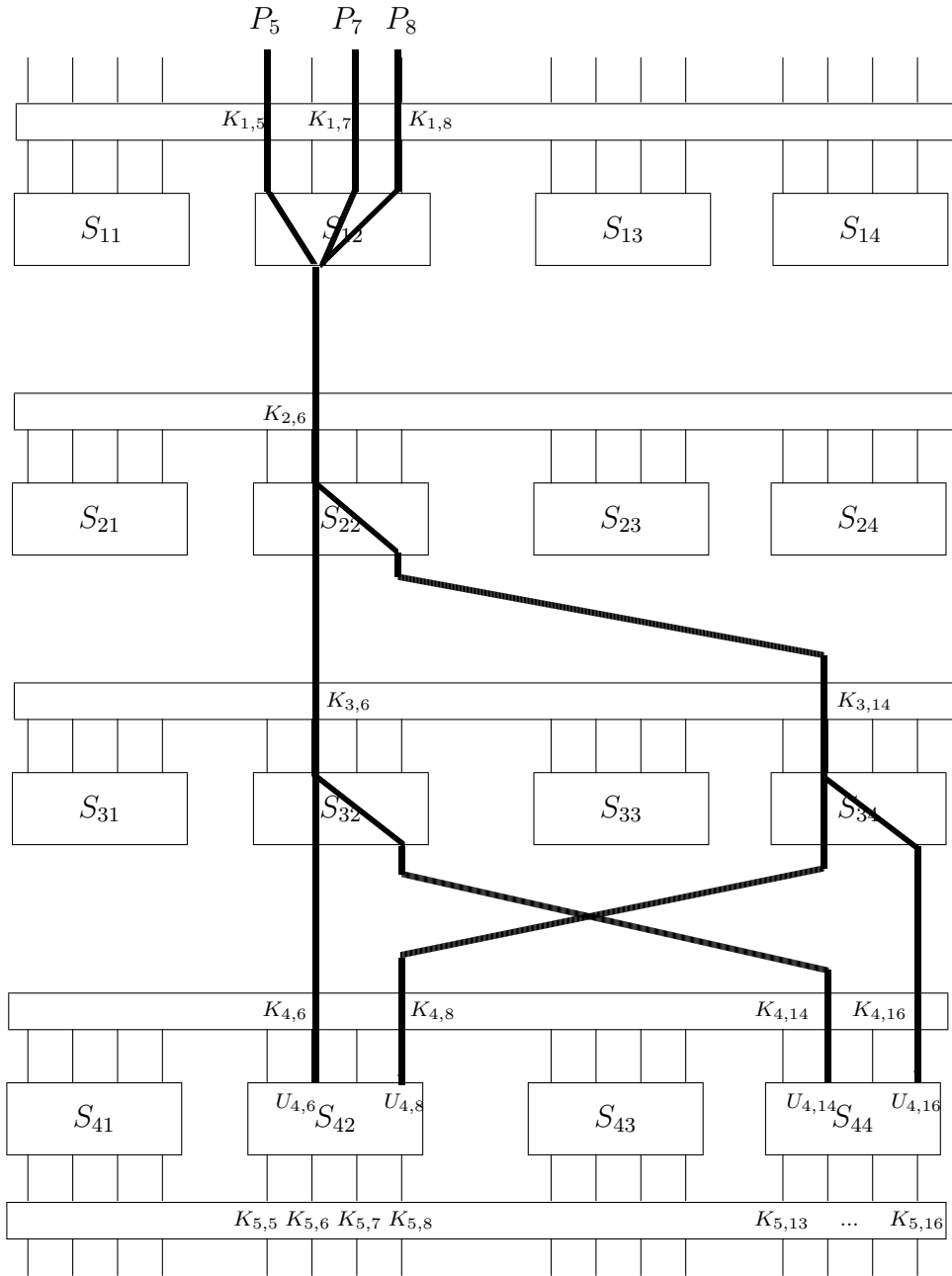


Figura 4: Exemplu de aproximare liniară

Pentru runda 3, reținem că

$$V_{3,6} \oplus V_{3,8} = U_{3,6}$$

cu probabilitate $1/4$ și

$$V_{3,14} \oplus V_{3,16} = U_{3,14}$$

tot cu probabilitate $1/4$.

Deci, pentru că $U_{3,6} = V_{2,6} \oplus K_{3,6}$ și $U_{3,14} = V_{2,8} \oplus K_{3,14}$, aplicăm din nou Lema 6.2 și obținem

$$V_{3,6} \oplus V_{3,8} \oplus V_{3,14} \oplus V_{3,16} \oplus V_{2,6} \oplus K_{3,6} \oplus V_{2,8} \oplus K_{3,14} = 0 \quad (4)$$

cu probabilitate $1/2 + 2(1/4 - 1/2)2 = 5/8$ (deci, cu o tendință $+1/8$).

Combinăm acum relațiile (3) și (4) pentru a încorpora toate cele patru aproximări ale S - boxurilor. Vom avea

$$V_{3,6} \oplus V_{3,8} \oplus V_{3,14} \oplus V_{3,16} \oplus P_5 \oplus P_7 \oplus P_8 \oplus K_{1,5} \oplus K_{1,7} \oplus K_{1,8} \oplus K_{2,6} \oplus K_{3,6} \oplus K_{3,14} = 0.$$

Ținem cont că $U_{4,6} = V_{3,6} \oplus K_{4,6}$, $U_{4,8} = V_{3,14} \oplus K_{4,8}$, $U_{4,14} = V_{3,8} \oplus K_{4,14}$, $U_{4,16} = V_{3,16} \oplus K_{4,16}$ și putem rescrie această relație sub forma

$$U_{4,6} \oplus U_{4,8} \oplus U_{4,14} \oplus U_{4,16} \oplus P_5 \oplus P_7 \oplus P_8 \oplus \sigma_K = 0$$

unde

$$\sigma_K = K_{1,5} \oplus K_{1,7} \oplus K_{1,8} \oplus K_{2,6} \oplus K_{3,6} \oplus K_{3,14} \oplus K_{4,6} \oplus K_{4,8} \oplus K_{4,14} \oplus K_{4,16}$$

De remarcat că σ_K este o valoare fixată (0 sau 1), dependentă de cheia sistemului de criptare.

Aplicând Lema 6.2, această expresie are loc cu probabilitate $1/2 + 23(3/4 - 1/2)(1/4 - 1/2)3 = 15/32$ (deci o tendință $-1/32$).

Deoarece σ_K este fixat, deducem că relația

$$U_{4,6} \oplus U_{4,8} \oplus U_{4,14} \oplus U_{4,16} \oplus P_5 \oplus P_7 \oplus P_8 = 0 \quad (5)$$

are loc cu probabilitate $15/32$ sau $(1 - 15/32) = 17/32$ (după cum $\sigma_K = 0$, respectiv 1).

Am obținut deci o aproximare liniară a primelor trei runde ale sistemului de criptare, cu o tendință $1/32$, remarcabil de bună pentru construirea unui atac.

Să vedem cum o putem folosi această tendință pentru a determina o parte din biții cheii.

6.5.5 Extragerea biților cheii

După ce am aflat o aproximare liniară pentru $N - 1$ runde dintr-un sistem de criptare cu N runde, aproximare având o tendință semnificativ de mare, putem ataca sistemul căutând biți din ultima sub-cheie. În cazul nostru, având o aproximare liniară pentru 3 runde, este posibil să găsim biți din subcheia K_5 .

Vom numi *sub-cheie țintă* setul de biți din ultima sub-cheie, asociați S - boxurilor active din ultima rundă (S - boxuri influențate de biții utilizați în aproximarea liniară găsită). Pentru fiecare valoare posibilă a sub-cheii țintă este definit un contor (inițializat cu zero).

Procesul este similar celui folosit la criptanaliza diferențială. Anume, pentru toate valorile posibile ale sub-cheii țintă, biții din textul criptat sunt XOR -ați cu biții din sub-cheia țintă și rezultatul este trecut în sens invers prin S - boxurile corespunzătoare.

Această procedură este efectuată pentru perechile (*text clar*, *text criptat*) folosite în atac. Dacă aproximarea liniară este verificată pentru biții din textul clar folosit și pentru rezultatul obținut de procedură, contorul asociat sub-cheii respective este incrementat.

Sub-cheia țintă al cărei contor diferă cel mai mult de jumătatea numărului de perechi de texte folosite, este cel mai probabil cea corectă. Aceasta rezultă din faptul că pentru sub-cheia țintă respectivă, tendința este maximă. Dacă valoarea acestui contor este mai mare sau mai mică decât $1/2$ depinde de faptul dacă aproximarea folosită este o relație liniară sau afină (lucru care depinde la rândul său de valorile necunoscute ale biților sub-cheii folosiți implicit în aproximare).

Pentru o sub-cheie incorectă rezultată dintr-o alegere aleatoare, aproximarea asociată este verificată în general cu o probabilitate foarte apropiată de $1/2$.

Exemplul 6.7. ([26]). *Expresia liniară (5) afectează intrările în S - boxurile S_{42} și S_{44} din ultima rundă. Deci, pentru fiecare pereche (text clar, text criptat) ales pentru atac, vom încerca toate cele $2^8 = 256$ valori ale sub-cheii țintă $[K_{5,5}, \dots, K_{5,8}, K_{5,13}, \dots, K_{5,16}]$.*

Pentru fiecare valoare a sub-cheii țintă vom incrementa contorul respectiv ori de câte ori relația (5) este verificată (valorile $[U_{4,5}, \dots, U_{4,8}, U_{4,13}, \dots, U_{4,16}]$ sunt determinate trecând datele în sens invers prin sub-cheia țintă și S - boxurile S_{24} și S_{44}).

Contorul care diferă cel mai mult de jumătate din numărul de perechi (text clar, text criptat) folosite în atac va indica sub-cheia țintă prezumtiv corectă. Valorile biților din sub-cheie folosiți în calculul lui σ_K vor indica dacă tendința este pozitivă sau negativă. Când $\sigma_K = 0$, aproximarea liniară (5) va servi ca estimare cu probabilitate $< 1/2$, iar când $\sigma_K = 1$, relația (5) va avea loc cu probabilitate $> 1/2$.

$K_{5,5} \dots K_{5,8}, K_{5,13} \dots K_{5,16}$	$ tendinta $	$K_{5,5} \dots K_{5,8}, K_{5,13} \dots K_{5,16}$	$ tendinta $
1 C	0.0031	2 A	0.0044
1 D	0.0078	2 B	0.0186
1 E	0.0071	2 C	0.0094
1 F	0.0170	2 D	0.0053
2 0	0.0025	2 E	0.0062
2 1	0.0220	2 F	0.0133
2 2	0.0211	3 0	0.0027
2 3	0.0064	3 1	0.0050
2 4	0.0336	3 2	0.0075
2 5	0.0106	3 3	0.0162
2 6	0.0096	3 4	0.0218
2 7	0.0074	3 5	0.0052
2 8	0.0224	3 6	0.0056
2 9	0.0054	3 7	0.0048

Tabela 8. Rezultate experimentale pentru un atac liniar

În [26] este simulat un atac folosind 10000 perechi cunoscute (text clar, text criptat) și urmând procedura de criptare pentru valorile sub-cheii parțiale $[K_{5,5}, \dots, K_{5,8}] = 0010$ (hex 2) respectiv $[K_{5,13}, \dots, K_{5,16}] = 0100$ (hex 4). Contorul care diferă cel mai mult

de valoarea 5000 corespunde – așa cum este de așteptat – valorii sub-cheii țintă $[2, 4]$ hex, confirmând că atacul a găsit corect biții respectivi ai cheii.

Tabela 8 prezintă doar parțial rezultatele relative la contori (un tabel complet va avea 256 linii, câte una pentru fiecare valoare posibilă a sub-cheii țintă). Valorile din tabel indică magnitudinea tendinței, conform formulei $|tendinta| = |cont - 5000|/10000$, unde "cont" corespunde contorului asociat valorii respective date sub-cheii țintă.

După cum se vede, cea mai mare tendință apare pentru valoarea

$$[K_{5,5} \dots K_{5,8}, K_{5,13} \dots K_{5,16}] = [2, 4],$$

rezultat care rămâne valabil pentru toată tabela cu 256 valori.

Valoarea 0.0336 găsită experimental este foarte apropiată de valoarea estimată $1/32 = 0.03125$. De remarcat că în tabel apar și alte valori destul de mari ale tendinței (deși teoretic, ele ar trebui să fie foarte apropiate de zero). Ele rezultă – printre altele – din alegerea aleatoare a perechilor de test, a proprietăților particulare ale S - boxurilor, a impreciziei ipotezei de independență (cerută de Lema 6.2).

6.5.6 Criptanaliza liniară pentru DES

Cea mai bună aproximare liniară pentru un S - box din DES este

$$a_2 \oplus b_1 \oplus b_2 \oplus b_3 \oplus b_4 = 0$$

asociată lui S_5 . Această relație are probabilitatea $12/64$.

Dacă se analizează componentele liniare ale funcției f , va rezulta că această relație conduce la aproximarea

$$a_{15} \oplus f(\alpha, K)_7 \oplus f(\alpha, K)_{18} \oplus f(\alpha, K)_{24} \oplus f(\alpha, K)_{29} \oplus K_{22} = 0 \quad (6)$$

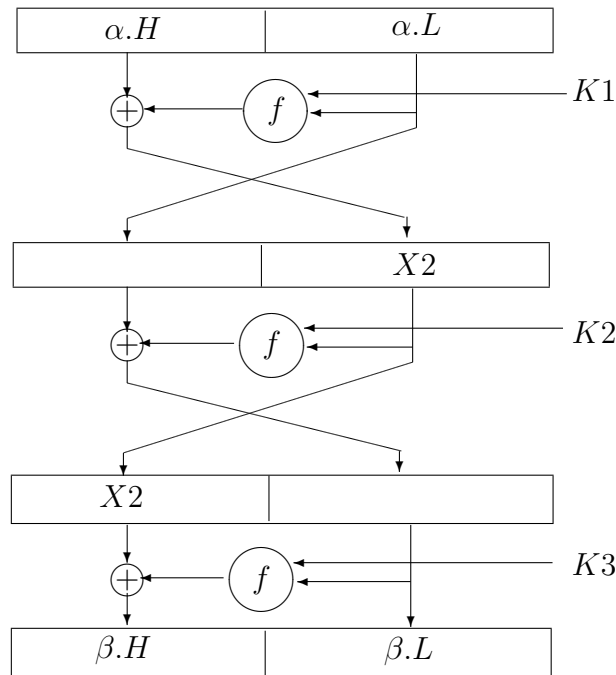
având tot probabilitatea $16/24$. Relația (6) poate fi folosită cu succes pentru un atac contra sistemului DES cu 3 runde.

Pentru a ataca un DES complet (cu 16 runde) sunt folosite aproximările liniare:

$$\begin{cases} a_{15} \oplus f(X, K)_7 \oplus f(X, K)_{18} \oplus f(X, K)_{24} \oplus f(X, K)_{29} \oplus K_{22} = 0 \\ a_{27} \oplus a_{28} \oplus a_{30} \oplus a_{31} \oplus f(X, K)_{15} \oplus K_{42} \oplus K_{43} \oplus K_{45} \oplus K_{46} = 0 \\ a_{29} \oplus f(X, K)_{15} \oplus K_{44} = 0 \\ a_{15} \oplus f(X, K)_7 \oplus f(X, K)_{18} \oplus f(X, K)_{24} \oplus K_{22} = 0 \\ a_{12} \oplus a_{16} \oplus f(X, K)_7 \oplus f(X, K)_{18} \oplus f(X, K)_{24} \oplus K_{19} \oplus K_{23} = 0 \end{cases}$$

Atacul unui DES în 3 runde

Pentru atacul unui DES în 3 runde vom folosi structura din Figura 5 (care definește un astfel de sistem DES simplificat), împreună cu aproximarea (6).

Figure 5: Structura unui *DES* cu 3 runde

Ele conduc la relația

$$\alpha.L_{15} \oplus (\alpha.H_7 \oplus X2_7) \oplus (\alpha.H_{18} \oplus X2_{18}) \oplus (\alpha.H_{24} \oplus X2_{24}) \oplus (\alpha.H_{29} \oplus X2_{29}) \oplus K1_{22} = 0$$

având probabilitatea tot 12/64 (s-a notat sub-cheia de la runda i cu Ki).

Bitul $K1_{22}$ din cheie este constant și poate fi eliminat din relație (el doar face distincția dintre valorile de probabilitate 12/64 sau $1 - 12/64$, diferență care nu ne interesează).

De remarcat că blocul $X2$ trece neschimbat prin runda a doua, deci va fi o intrare în ultima rundă. Rezultă că va trebui să parcurgem această rundă în sens invers și să determinăm cei 4 biți din $X2$ care apar în relația (6). Din Figura 5 avem

$$X2 = \beta.H \oplus f(\beta.L, K3),$$

unde singura necunoscută este sub-cheia $K3$.

Trebuie să găsim cei patru biți $[X2_7, X2_{18}, X2_{24}, X2_{29}]$ folosind doar o sub-cheie. Dacă studiem funcția f , vedem că acești biți apar după o permutare și o trecere prin S -boxuri. Cum sunt numai 4 biți, ei nu pot ieși decât din maxim 4 S -boxuri diferite. Pentru a calcula fiecare din aceste S -boxuri sunt necesari 6 biți din cheie. Deci, în total sunt necesari 24 biți din sub-cheia $K3$, pentru a găsi cei patru biți din $X2$.

Folosind o căutare exhaustivă vom lua toate cele 2^{24} valori posibile ale biților din sub-cheie – pentru toate perechile (*text clar*, *text criptat*) – și vom verifica dacă relația (6) este verificată. Valorile pentru care (6) se verifică în minim jumătate din cazuri, dau biții probabil corecți din $K3$.

Atacul unui *DES* în 16 runde

Pentru a ataca un sistem *DES* complet vor fi necesare toate cele cinci relații descrise anterior. Utilizarea lor ca aproximări ale funcțiilor f pentru un *DES* redus la 15 runde, conduce la aproximarea liniară:

$$\alpha.H[7, 8, 24] \oplus \alpha.L[12, 16] \oplus \beta.H^{15}[7, 18, 24, 29] \oplus \beta.L_{15}^{15} \oplus \sigma_{key} = 0 \quad (7)$$

unde $\beta.L^{15}$ și $\beta.H^{15}$ sunt componentele stânga/dreapta ale textului criptat prin acest *DES* redus, iar σ_{key} este o valoare fixată, rezultată printr-un *XOR* între mai mulți biți de cheie din diverse runde. Conform cu Matsui, aceasta este cea mai bună aproximare a unui *DES* în 15 runde, iar tendința ei este 1.19^{-22} .

Putem extinde acest *DES* redus la un sistem *DES* normal, pe 16 runde, prin adăugarea unei ultime runde.

Deoarece runda 15 nu va mai fi ultima, va trebui să inversăm sub-blocurile $\beta.L^{15}$ și $\beta.H^{15}$. Să notăm $\beta.H^{15} = X.L^{15}$ și $\beta.L^{15} = X.H^{15}$.

Vom obține din (7) următoarea aproximare (omțând σ_{key}):

$$\alpha.H[7, 8, 24] \oplus \alpha.L[12, 16] \oplus X.L^{15}[7, 18, 24, 29] \oplus X.H_{15}^{15} = 0 \quad (8)$$

Relația (8) va fi aproximarea care trebuie verificată după trecerea în sens invers prin ultima rundă (a 16-a) din *DES*.

Fie $\beta.L$ și $\beta.H$ componentele stânga/dreapta ale textului criptat obținut după runda 16. Putem trece prin ultima rundă în sens invers, pentru a găsi blocurile $X.L^{15}$ respectiv $X.H^{15}$ de intrare în ultima rundă. Din construcția sistemului *DES* avem:

$$X.L^{15} = \beta.L$$

și

$$X.H^{15} = \beta.H \oplus f(X.L^{15}, K16) = \beta.H \oplus f(\beta.L, K16)$$

Înlocuind în (8), putem verifica dacă aproximarea respectivă are loc pentru o sub-cheie $K16$ dată, verificând pur și simplu egalitatea

$$\alpha.H[7, 18, 24] \oplus \alpha.L[12, 16] \oplus \beta.L[7, 18, 24, 29] \oplus \beta.H_{15}^{15} \oplus f(\beta.L, K16)_{15} = 0$$

Singura componentă care nu este dată de o pereche (*text clar*, *text criptat*) folosită în atac, este bitul $f(\beta.L, K16)_{15}$. Acest bit este afectat de un singur S - box al lui f , deci sunt necesari numai 6 biți din $K16$ pentru a verifica egalitatea (8) (remintim, S - boxurile *DES* folosesc intrări de 6 biți).

Putem obține în acest fel 6 biți din cheie. Restul biților se vor obține folosind eventual un atac prin forță brută.

În [63] Matsui folosește simetria rundelor *DES* pentru a găsi altă aproximare liniară similară cu (7), având aceeași tendință. Pe baza ei se pot găsi alți 6 biți din cheie. Deci, în total pot fi descoperiți 12 biți din cheie. În [36], Matsui îmbunătățește algoritmul,

folosind o aproximare pentru un *DES* pe 14 runde, obținând în final 26 biți din sub-cheia *K16* (care are în total 48 biți).

După estimarea lui Matsui, atacul original necesită 2^{47} perechi (*text clar, text criptat*) pentru a avea succes cu probabilitate mare, iar atacul îmbunătățit reduce acest număr la 2^{43} perechi. Cercetări experimentale ulterioare ([28]) sugerează că sunt suficiente 2^{41} perechi pentru ca atacul îmbunătățit al lui Matsui să dea rezultate.

6.6 Comparare între criptanaliza diferențială și liniară

Între cele două tipuri de criptanaliză există multe similarități remarcabile. Astfel:

- Diferențialele caracteristice corespund aproximărilor liniare. Tabelele de distribuție a diferențelor sunt înlocuite cu tabelele de aproximare liniară.
- Regula de combinare a diferențialelor caracteristice: "substituie diferențele și înmulțește probabilitățile" corespunde regulii de combinare a aproximărilor liniare (Lema piling-up): "substituie elementele comune și înmulțește tendințele".
- Algoritmii de căutare pentru cea mai bună caracteristică sau cea mai bună aproximare liniară sunt în esență identici.

Cele mai importante distincții între cele două metode de atac sunt:

- Criptanaliza diferențială lucrează cu blocuri de biți, în timp ce criptanaliza liniară lucrează în esență cu un singur bit.
- Tendința unei aproximări liniare este un număr cu semn. Deci, fiind date două aproximări cu aceleași structuri de intrare și ieșire, aceiași probabilitate, dar semne opuse, aproximarea rezultată va avea tendința zero (datorită faptului că cele două aproximări se vor anula reciproc).

6.7 Exerciții

6.1. Fie S - boxul $\pi_S : \{0, 1\}^3 \longrightarrow \{0, 1\}^3$ definit prin tabela

x	0	1	2	3	4	5	6	7
$\pi_S(x)$	0	2	3	4	5	6	7	1

Se dau două mesaje $s_1, s_2 \in \{0, 1\}^3$. Să se afle cheia $k \in \{0, 1\}^3$ știind că

$$s_1 \oplus k = 5, \quad s_2 \oplus k = 3, \quad \pi_S(s_1) \oplus \pi_S(s_2) = 2.$$

6.2. Să se construiască aproximări liniare pentru S - boxul din exercițiul precedent.

6.3. Fie X_1, X_2, X_3 variabile aleatoare independente cu valori în $\{0, 1\}$ de tendințe ϵ_1, ϵ_2 respectiv ϵ_3 . Demonstrați că $X_1 \oplus X_2$ și $X_2 \oplus X_3$ sunt indepedente dacă și numai dacă $\epsilon_1 = 0$, $\epsilon_3 = 0$ sau $\epsilon_2 = \pm 1/2$.

6.4. Pentru fiecare din cele opt S - boxuri DES calculați tendința variabilei aleatoare $X_2 \oplus Y_1 \oplus Y_2 \oplus Y_3 \oplus Y_4$.

6.5. S - boxul DES S_4 are câteva proprietăți specifice:

1. Arătați că a doua linie din S_4 poate fi obținută din prima linie folosind operația

$$(y_1, y_2, y_3, y_4) \longrightarrow (y_2, y_1, y_4, y_3) \oplus (0, 1, 1, 0)$$

2. Arătați că orice linie din S_4 poate fi transformată în orice altă linie printr-o operație similară.

6.6. Fie $\pi_S : \{0, 1\}^m \longrightarrow \{0, 1\}^n$ un S - box. Demonstrați că:

1. $N_L(0, 0) = 2^m$;
2. $N_L(a, 0) = 2^m - 1, \quad \forall a \in [0, 2^m - 1]$;
3. $\sum_{a=0}^{2^m-1} \sum_{b=0}^{2^n-1} N_L(a, b) \in \{2^{n+2m-1}, 2^{n+2m-1} + 2^{n+m-1}\}$.

6.7. Un S - box $\pi_S : \{0, 1\}^m \longrightarrow \{0, 1\}^n$ este "balansat" dacă

$$|\pi_{s^{-1}}(y)| = 2^{n-m}$$

pentru orice $y \in \{0, 1\}^n$.

Demonstrați următoarele afirmații despre N_L pentru un S - box balansat:

1. $N_L(0, b) = 2^m - 1, \quad \forall b \in [0, 2^n - 1]$;
2. $\forall a \in [0, 2^m - 1], \quad \sum_{b=0}^{2^n-1} N_L(a, b) = 2^{m+n-1} - 2^{n-1} + i2^n$

unde i este un număr întreg din intervalul $[0, 2^{m-n}]$.

6.8. Fie S - boxul definită:

x	0	1	2	3	4	5	6	7	8	9	A	B	C	D	E	F
$\pi_S(x)$	8	4	2	1	C	6	3	D	A	5	E	7	F	B	9	0

Determinați tabela de aproximație liniară.

6.9. Fie un sistem de criptare $\mathcal{P} = \mathcal{C} = \mathcal{K}$ care asigură confidențialitate perfectă; deci, din $e_K(\alpha) = e_{K_1}(\alpha)$ rezultă $K = K_1$. Notăm $\mathcal{P} = Y = \{\beta_1, \beta_2, \dots, \beta_N\}$. Fie α un bloc de text clar fixat. Definim funcția $g : Y \rightarrow Y$ prin $g(\beta) = e_\beta(\alpha)$. Definim un graf orientat Γ având ca noduri Y și ca arce $(\beta_i, g(\beta_i))$ ($1 \leq i \leq N$).

1. Arătați că Γ este o reuniune de cicluri orientate disjuncte.
2. Fie T un parametru de timp fixat. Considerăm o mulțime $Z = \{\gamma_1, \dots, \gamma_m\} \subseteq Y$, astfel ca pentru orice $\beta_i \in Y$, β_i este într-un ciclu de lungime cel mult T , sau există un element $\gamma_j \neq \beta_i$ astfel că distanța de la β_i la γ_j (în Γ) este cel mult T . Demonstrați că există o astfel de mulțime cu $\text{card}(Z) \leq 2N/T$ (deci $\text{card}(Z)$ este de complexitate $\mathcal{O}(N/T)$).
3. Pentru fiecare $\gamma_j \in Z$, definim $g^{-1}(\gamma_j)$ ca fiind acel element β_i astfel că $g^T(\beta_i) = \gamma_j$, unde g^T este funcția g aplicată de T ori. Construiți tabela X a perechilor $(\gamma_j, g^{-1}(\gamma_j))$, ordonate după prima coordonată.

Un algoritm care găsește K astfel că $\beta = e_K(\alpha)$ este următorul:

```

1.  $\beta_0 \leftarrow \beta$ ;
2.  $flag \leftarrow True$ ;
3. while  $g(\beta) \neq \beta_0$  do
   3.1. if  $\exists j \beta = \gamma_j$  and  $flag$  then
     3.1.1.  $\beta \rightarrow g^{-1}(\gamma_j)$ 
     3.1.2.  $flag \rightarrow False$ 
     else
     3.1.3.  $\beta \rightarrow g(\beta)$ ;
   3.2.  $K = \beta$ .
```

Arătați că el determină K în maxim T etape (compromisul spațiu - timp este deci $\mathcal{O}(N)$).

4. Dați un algoritm care construiește o mulțime Z în timp $\mathcal{O}(NT)$, fără a folosi tablouri de mărime N .

Bibliografie

- [1] Anderson R. ş.a. - *Serpent: A proposal for the Advanced Encryption Standard*,
<http://www.ftp.cl.cam.ac.uk/ftp/users/rja14/serpent.pdf>
- [2] Atanasiu A. - *Teoria codurilor corectoare de erori*, Editura Univ. Bucureşti, 2001;
- [3] D. Bayer, S. Haber, W. Stornetta; Improving the efficiency and reliability of digital time-stamping. Sequences II, Methods in Communication, Security and Computer Science, Springer Verlag (1993), 329-334.
- [4] E. Biham, A. Shamir, *Differential Cryptanalysis of DES - like Cryptosystems*, Journal of Cryptology, vol. 4, 1 (1991), pp. 3-72.
- [5] E. Biham, A. Shamir, *Differential Cryptanalysis of the Data Encryption Standard*, Springer-Verlag, 1993.
- [6] E. Biham, A. Shamir, *Differential Cryptanalysis of the Full 16-Round DES*, Proceedings of Crypto92, LNCS 740, Springer-Verlag.
- [7] E. Biham, *On Matsui's Linear Cryptanalysis*, Advances in Cryptology - EURO-CRYPT 94 (LNCS 950), Springer-Verlag, pp. 341-355, 1995.
- [8] A. Biryukov, A. Shamir, D. Wagner, *Real Time Cryptanalysis of A5/1 on a PC*, Fast Software Encryption - FSE 2000, pp 118.
- [9] A. Bruen, M. Forcinito, *Cryptography, Information Theory, and Error - Correction*, Wiley Interscience 2005.
- [10] Bos J.N., Chaum D. - Provably unforgable signatures; Lecture Notes in Computer Science, 740(1993), 1 – 14
- [11] D. Chaum, H. van Antwerpen - Undeniable signatures; Lecture Notes in Computer Science, 435(1990), 212 – 216
- [12] D. Chaum, E. van Heijst, B. Pfitzmann; Cryptographically strong undeniable signatures, unconditionally secure for the signer. Lecture Notes in Computer Science, 576 (1992), 470-484.

- [13] Brigitte Collard - *Secret Language in Graeco-Roman antiquity* (teză de doctorat)
[http : //bcs.fltr.ucl.ac.be/FE/07/CRYPT/Intro.html](http://bcs.fltr.ucl.ac.be/FE/07/CRYPT/Intro.html)
- [14] Cook S., [http : //www.claymath.org/millennium/P_vs_NP/Official_Problem_Description.pdf](http://www.claymath.org/millennium/P_vs_NP/Official_Problem_Description.pdf)
- [15] Coppersmith D. ș.a. - *MARS - a candidate cypher for AES*,
<http://www.research.ibm.com/security/mars.pdf>
- [16] Daemen J., Rijmen V. - *The Rijndael Block Cipher Proposal*,
<http://csrc.nist.gov/CryptoToolkit/aes/>
- [17] I.B. Damgård; A design principle for hash functions. *Lecture Notes in Computer Science*, 435 (1990), 516-427.
- [18] Diffie D.W., Hellman M.E. - *New Directions in Cryptography*, *IEEE Transactions on Information Theory*, IT-22, 6 (1976), pp. 644-654
- [19] W. Diffie, M.E. Hellman - Multiuser cryptographic techniques; *AFIPS Conference Proceedings*, 45(1976), 109 – 112
- [20] L'Ecuyer P. - *Random Numbers for Simulation*, *Comm ACM* 33, 10(1990), 742-749, 774.
- [21] Enge A. - *Elliptic Curves and their applications to Cryptography*, Kluwer Academic Publ, 1999
- [22] El Gamal T., *A public key cryptosystem and a signature scheme based on discrete algorithms*, *IEEE Transactions on Information Theory*, 31 (1985), 469-472
- [23] Fog A. - <http://www.agner.org/random/theory>;
- [24] Gibson J., *Discrete logarithm hash function that is collision free and one way*. *IEEE Proceedings-E*, 138 (1991), 407-410.
- [25] S. Haber, W. Stornetta; How to timestamp a digital document. *Journal of Cryptology*, 3(1991), 99-111.
- [26] H. M. Heyes, *A Tutorial on Linear and Differential Cryptanalysis*.
- [27] van Heyst E., Petersen T.P. - How to make efficient fail-stop signatures; *Lecture Notes in Computer Science*, 658(1993), 366 – 377
- [28] P. Junod, *On the complexity of Matsui's attack*, in *SAC 01: Revised Papers from the 8th Annual International Workshop on Selected Areas in Cryptography*, pp 199-211, London, UK, 2001. Springer-Verlag.

- [29] Kahn D. - *The Codebreakers*, MacMillan Publishing Co, New York, 1967
- [30] Kelly T. - *The myth of the skytale*, Cryptologia, Iulie 1998, pp. 244 - 260.
- [31] A. Konheim - *Computer Security and Cryptography*, Wiley Interscience, 2007.
- [32] Knuth D. - *The art of computer Programming*, vol 2 (Seminumerical Algorithms)
- [33] Lenstra, H.W. - *Factoring Integers with Eiipptic Curves*, Annals of Mathematics, vol. 126, pp. 649-673, 1987.
- [34] Matsui, M, Yamagishi, A. - *A new method for known plaintext attack of FEAL cipher*. Advances in Cryptology - EUROCRYPT 1992.
- [35] M. Matsui - *Linear Cryptanalysis Method for DES Cipher*, Advances in Cryptology - EUROCRYPT 93, LNCS 765, Springer-Verlag, pp. 386-397, 1994.
- [36] M. Matsui - *The first experimental cryptanalysis of the Data Encryption Standard*, in Y.G. Desmedt, editor, Advances in Cryptology - Crypto 4, LNCS 839, SpringerVerlag (1994), 1- 11.
- [37] M. Matsui - *New Structure of Block Ciphers with Provable Security against Differential and Linear Cryptalaysis*, Fast Software Encryption, LNCS 1039, Springer-Verlag, 1996, pp. 205-218.
- [38] Merkle, R., Hellman, M. - *Hiding Information and Signatures in Trapdoor Knapsacks*, IEEE Trans. IT 24(5), Sept 1978, pp. 525-530.
- [39] Merkle R.C. - *A fast software one-way functions and DES*, Lecture Notes in Computer Science, 435 (1990), 428-446
- [40] Mitchell C.J., Piper F., Wild, P. - *Digital signatures; Contemporary Cryptology, The Science of Information Integrity*, IEEE Press, (1992), 325 – 378
- [41] Menezes A., Oorschot P., Vanstome S., *Handbook of Applied Cryptography*
- [42] B. Preneel, R. Govaerts, J. Vandewalle; *Hash functions based on block ciphers: a syntetic approach*. Lecture Notes in Computer Science, 773 (1994), 368-378
- [43] Rivest R. s.a - *The RC6TM Block Cipher*,
<ftp://ftp.rsasecurity.com/pub/rsalabs/rc6/rc6v11.pdf>
- [44] R.L. Rivest; *The MD4 message digest algorithm*. Lecture Notes in Computer Science, 537, (1991), 303-311

- [45] Rivest R., Shamir A., Adleman A., *A Method for Obtaining Digital Signatures and Public-Key Cryptosystems*, Communications of the ACM, Vol. 21 (2), 1978, pages 120–126.
- [46] Rosing, M - *Implementing Elliptic Curve Cryptography*, Manning, 1998
- [47] D. Salmon - *Data Privacy and Security*, Springer Professional Computing, 2003
- [48] Salomaa A. - *Criptografie cu chei publice*, Ed. Militară, București 1994
- [49] Schneier B. - *Applied Cryptography*, John Wiley and Sons, 1995
- [50] Schneier B ș.a. - *Twofish*, <http://www.counterpane.com/twofish.html>
- [51] Shamir, A. - *A polynomial time Algorithm for breaking the basic Merkle - Hellman cryptosystem*,
<http://dsns.csie.nctu.edu.tw/research/crypto/HTML/PDF/C82/279.PDF>
- [52] Shoup, V. - *Lower bounds for discrete logarithm and related problems*, Advanced in Cryptology, EUROCRYPT 97, Springer - Verlag LNCS 1233, pp. 313-328, 1997.
- [53] Selmer E.S. - *Linear Recurrence over Finite Field*, Univ. of Bergen, Norway, 1966;
- [54] Sibley E.H. - *Random Number Generators: Good Ones are Hard to Find*, Comm ACM 31, 10(1988), 1192-1201.
- [55] Smid M.E., Branstad, D.K. - *Response to comments on the NIST proposed digital signature standard*, Lecture Notes in Computer Science, 740(1993), 76 – 88
- [56] Stinton D., *Cryptography, Theory and Practice*, Chapman& Hall/CRC, 2002
- [57] Wiener M.J. - *Cryptanalysis of short RSA secret exponents*, IEEE Trans on Information Theory, 36 (1990), 553-558
- [58] Williams H.C. - *Some public-key criptofunctions as intractable as factorisation*, Cryptologia, 9 (1985), 224-237.
- [59] Zeng K.G., Yang C.H., Wei D.Y., Rao T.R.N.- *Pseudorandom Bit Generators in Stream Cipher Cryptography*, IEEE Computer, 24 (1991), 8.17.
- [60] Secure hash Standard. National Bureau of Standards, FIPS Publications 180, 1993
- [61] Digital signature standard; National Bureau of Standards, FIPS Publications 186, 1994
- [62] [http : //en.wikipedia.org/wiki/Enigma_machine](http://en.wikipedia.org/wiki/Enigma_machine)

- [63] *[http : //en.wikipedia.org/wiki/M](http://en.wikipedia.org/wiki/M) – 209*
- [64] *[http://en.wikipedia.org/wiki/Caesar_ cipher# History_ and_ usage](http://en.wikipedia.org/wiki/Caesar_cipher#_History_and_usage)*
- [65] *[http://psychcentral.com/psypsyh/Polybius_ square](http://psychcentral.com/psypsyh/Polybius_square)*
- [66] *<http://www.answers.com/topic/vigen-re-cipher>*
- [67] *[http://en.wikipedia.org/wiki/Rosetta_ stone](http://en.wikipedia.org/wiki/Rosetta_stone)*
- [68] *Serpent homepage, [http://www.cl.cam.ac.uk/~ rja14/serpent.html](http://www.cl.cam.ac.uk/~rja14/serpent.html)*
- [69] *P versus NP homepage, [http://www.win.tue.nl/ gwoegi/P-versus-NP.htm](http://www.win.tue.nl/~gwoegi/P-versus-NP.htm)*
- [70] *[http://www.win.tue.nl/ gwoegi/P-versus-NP.htm](http://www.win.tue.nl/~gwoegi/P-versus-NP.htm)*
- [71] *[http://en.wikipedia.org/wiki/Complexity_ classes_ P_ and_ NP](http://en.wikipedia.org/wiki/Complexity_classes_P_and_NP)*